### Universidade de São Paulo



#### Geofísica da América do Sul

Método magnetotelúrico

## Introdução

• 1) Princípios básicos do método magnetotelúrico (MT)

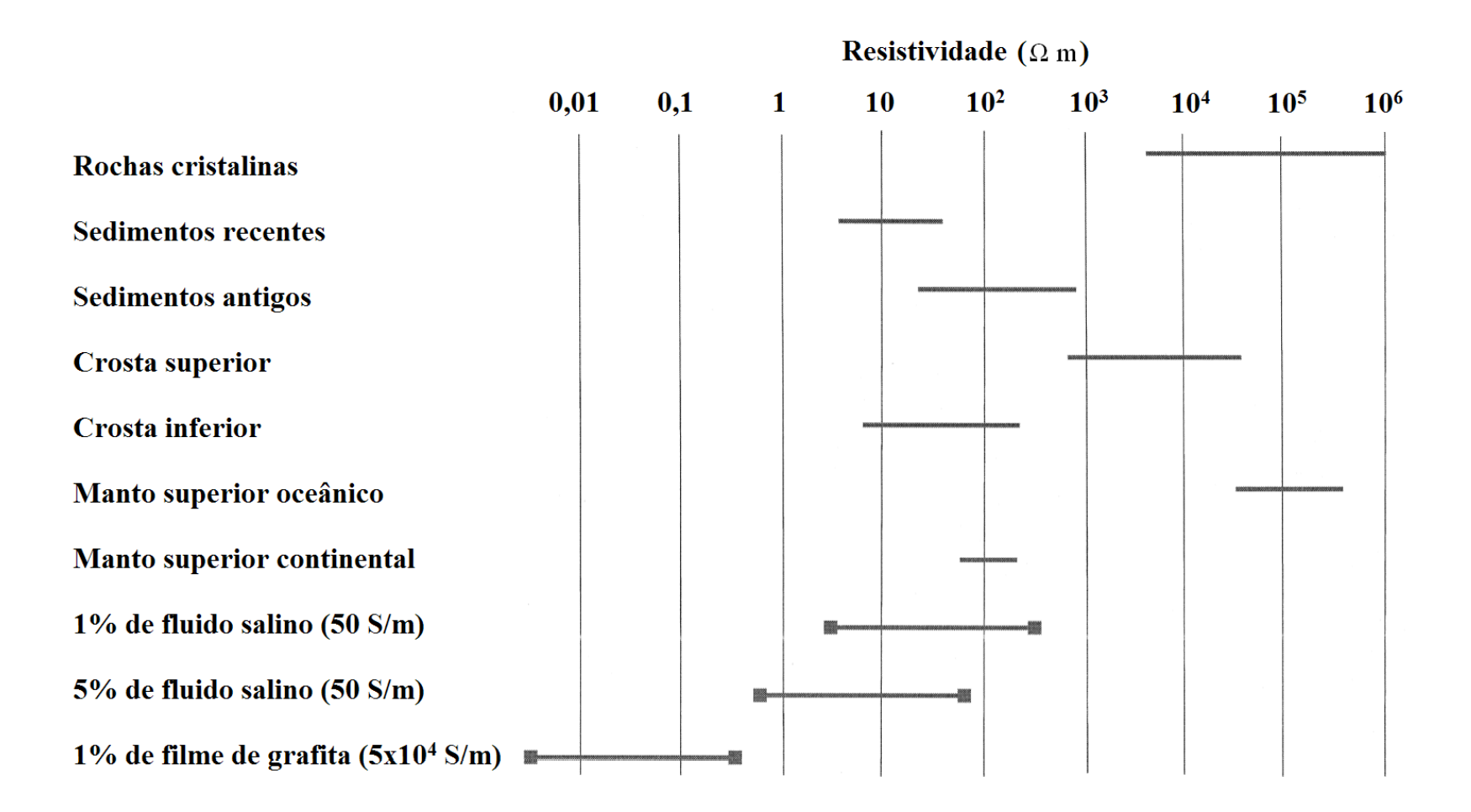
- O que é?
- Por que fazer?
- Como fazer?

2) Exemplos de aplicação na América do Sul

# O que é o método MT?

- Método eletromagnético passivo, usa fontes naturais;
- Distribuição da condutividade elétrica em subsuperfície;

$$\sigma$$
 (condutividade)  $ho = rac{1}{\sigma}$  (resistividade)



Adaptado de Jones (1999)

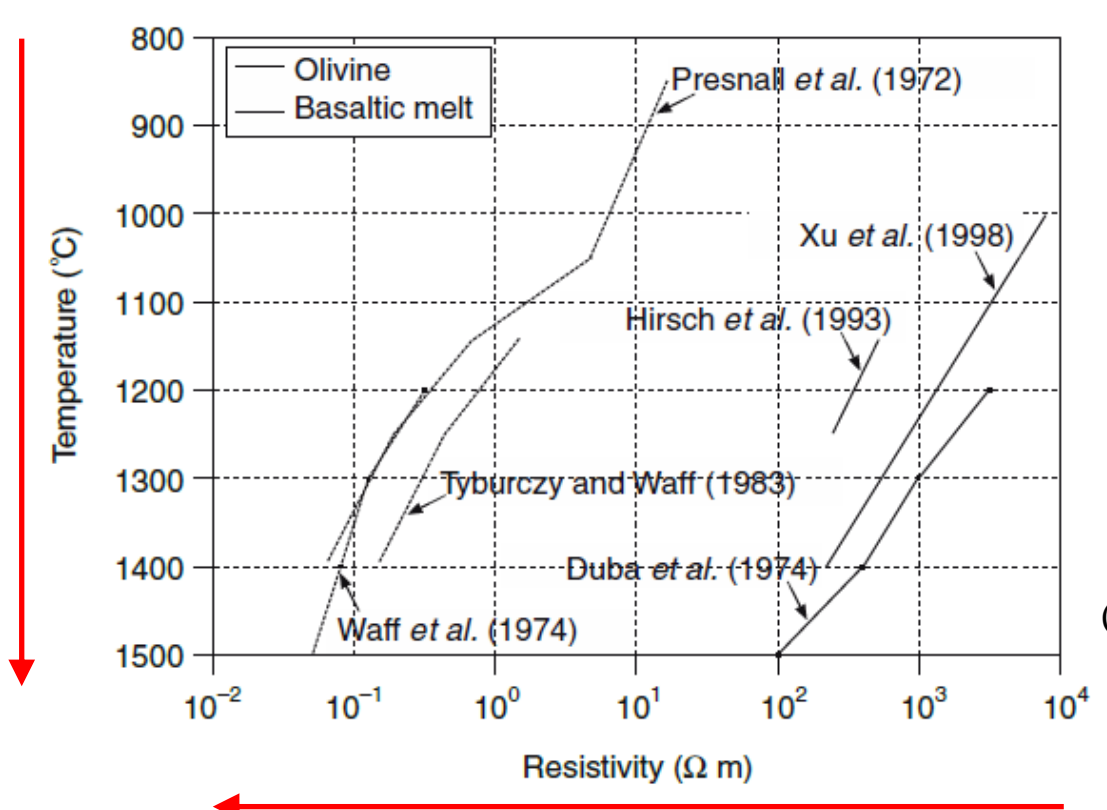
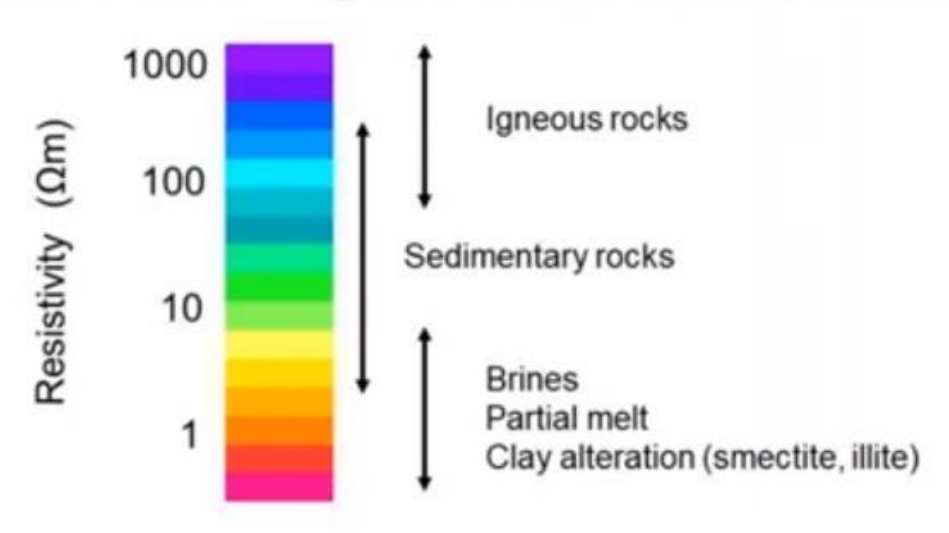


Figure 1.4 Electrical resistivities of dry olivine and basaltic melt as a function of temperature. Basaltic melt is approximately three orders of magnitude less resistive than dry olivine.

(Simpson and Bahr, 2005)

#### Resistivity of Earth materials



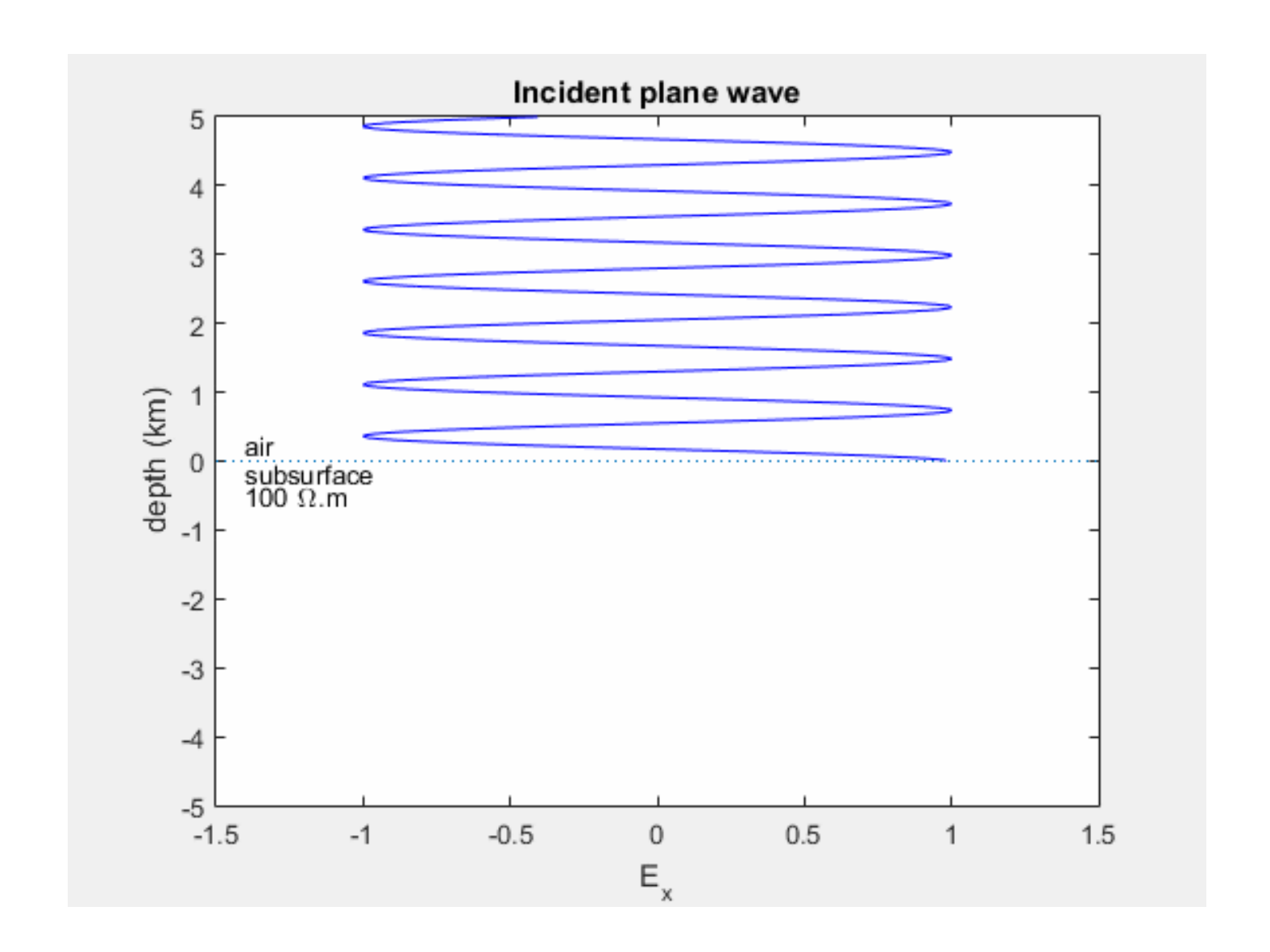
M. Unsworth (https://www.youtube.com/watch?v=ce4ATvbCwAw)

# Por que fazer MT?

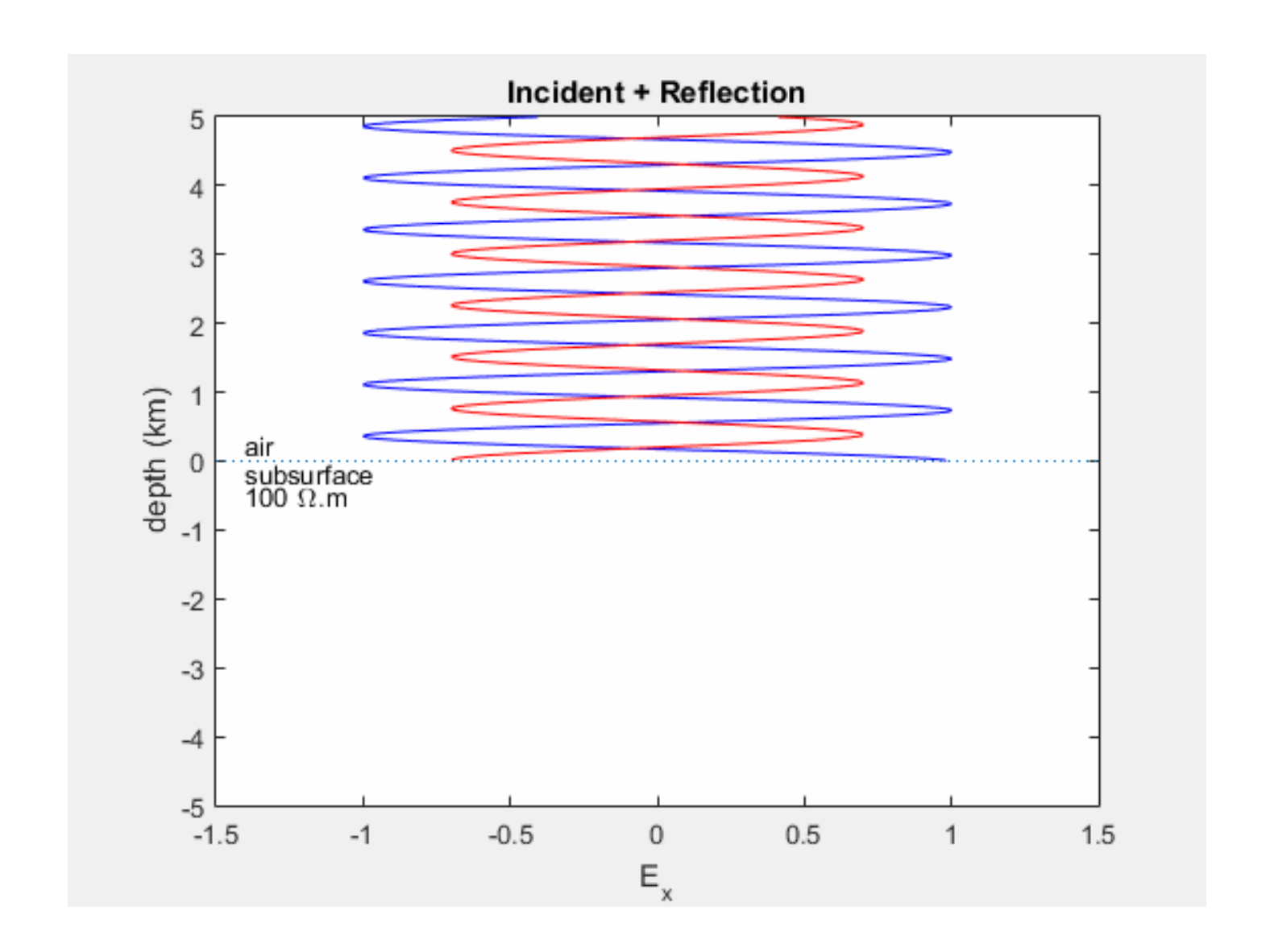
- Único método que permite obter a resistividade a grandes profundidades;
  - Perfilagem;
  - DC;
  - Outros métodos EM.

Profundidade de investigação controlada pela frequência/período do sinal:

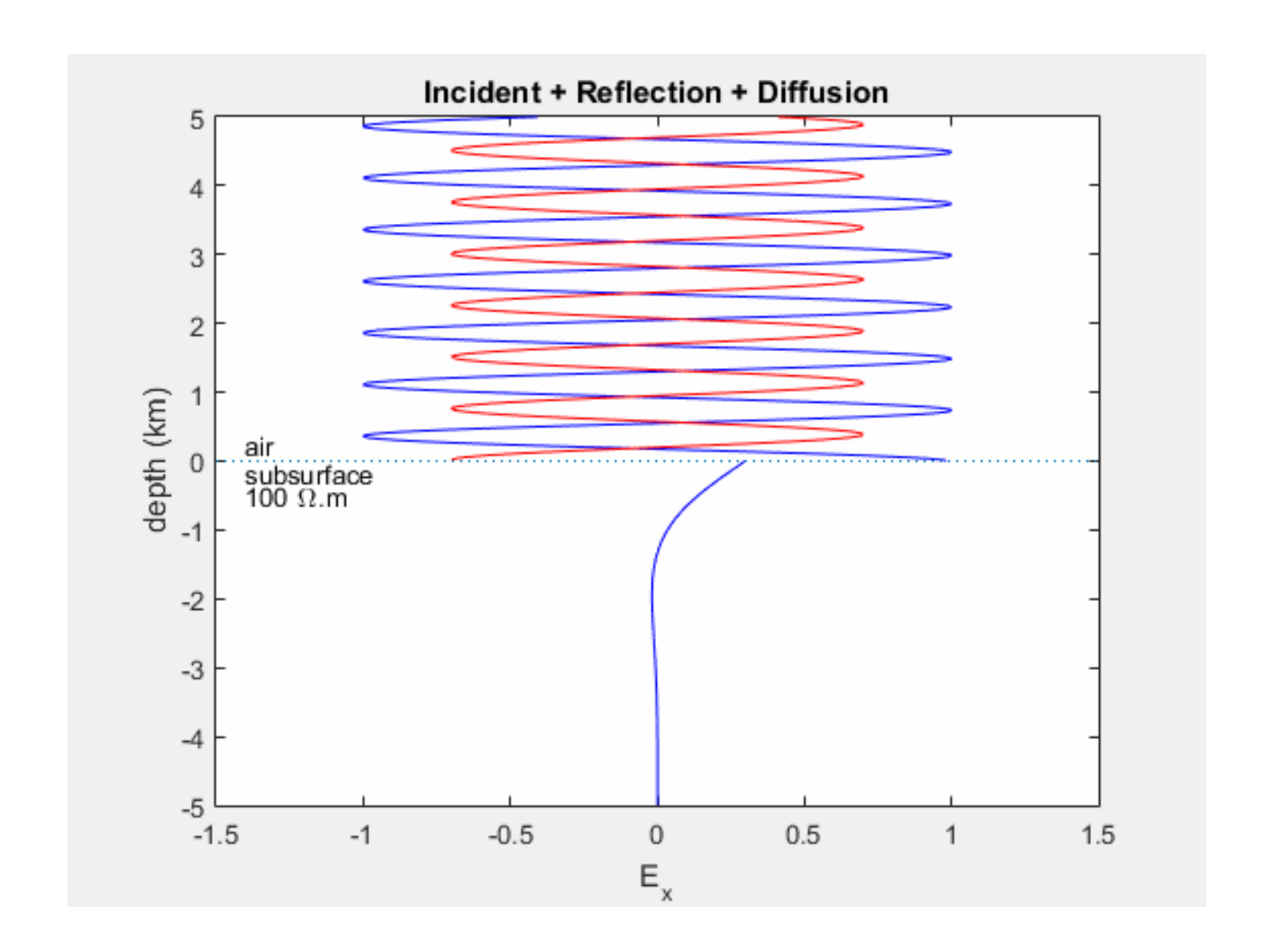
Profundidade pelicular (*skin depth*)



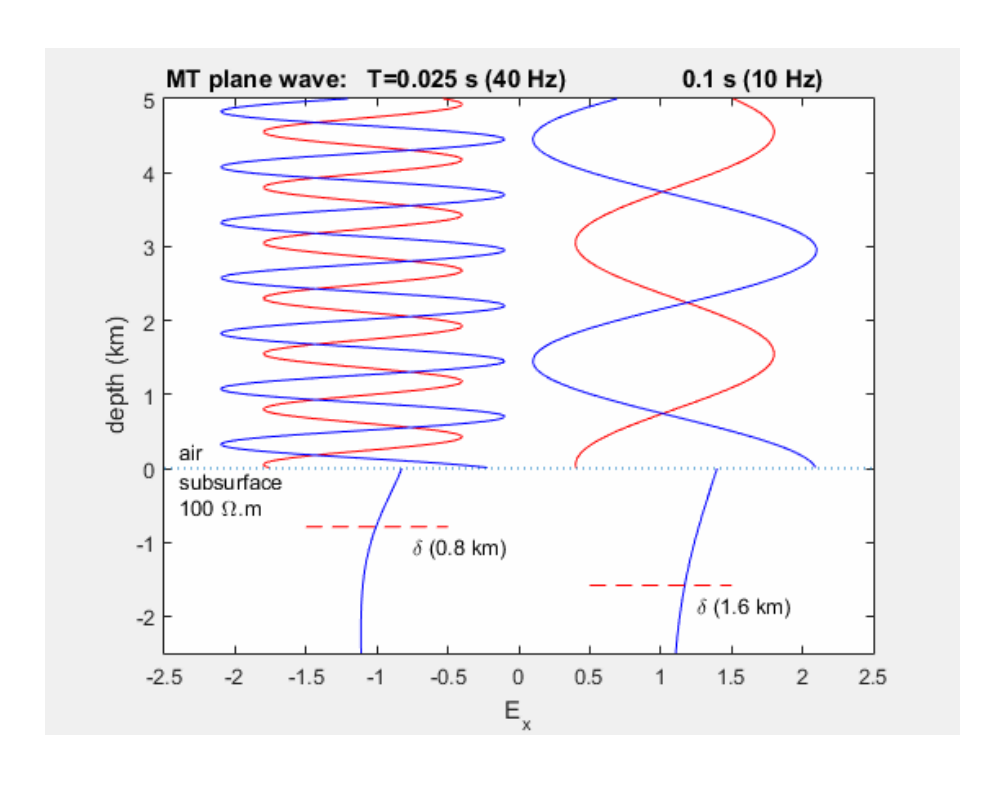
Animation adapted from the original by M. Unsworth (https://sites.ualberta.ca/~unsworth/MT/MT.html)



Animation adapted from the original by M. Unsworth (https://sites.ualberta.ca/~unsworth/MT/MT.html)



Animation adapted from the original by M. Unsworth (https://sites.ualberta.ca/~unsworth/MT/MT.html)



- Propagação do sinal é difusiva, ocorre atunação com a profundidade.
- *Skin depth*:
- Profundidade na qual o campo terá decaído com uma proporção de 1/e;
- Profundidade que o sinal alcança depende do período (T) e resistividade (ρ) do meio:

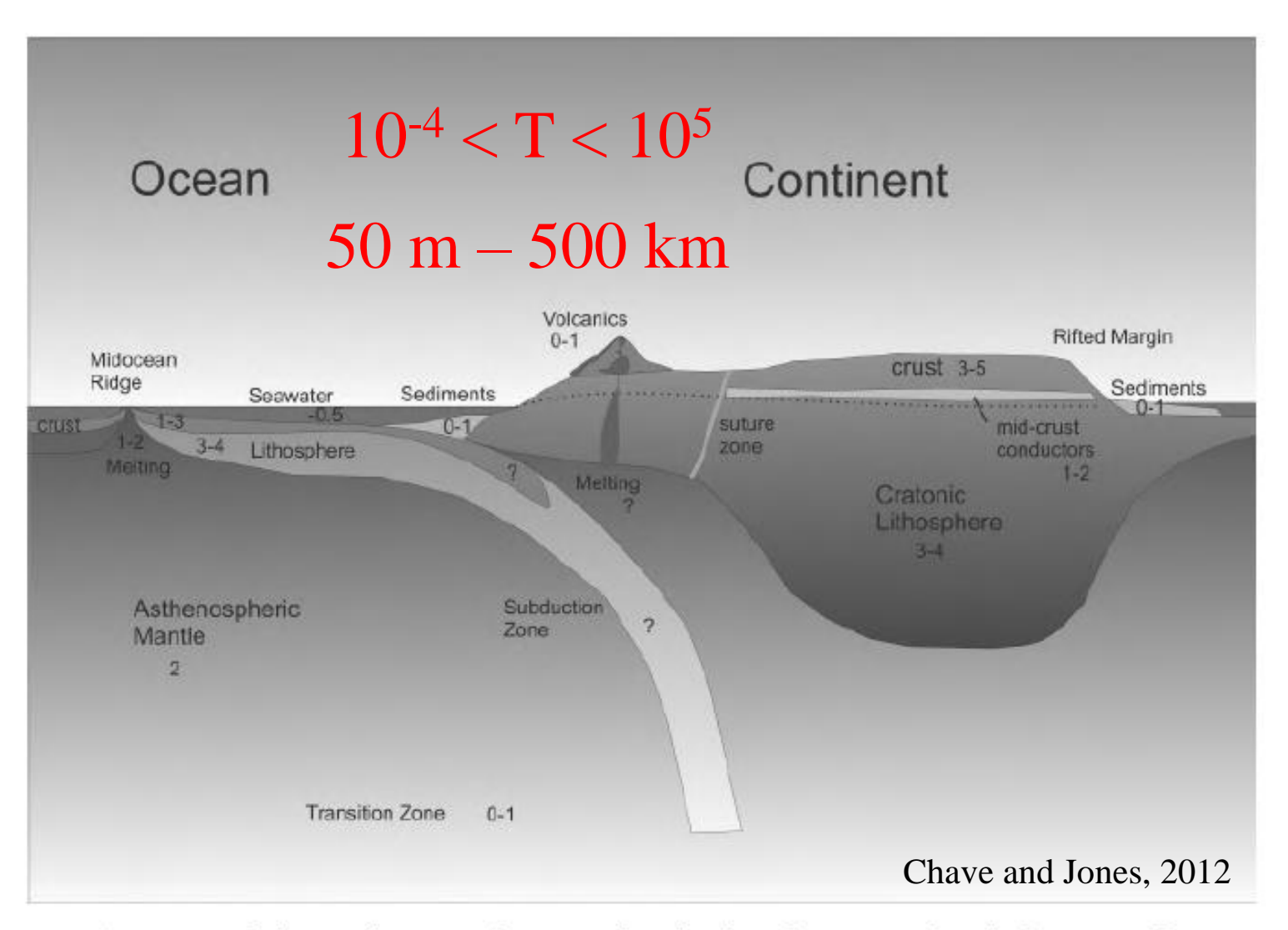
$$\delta \cong 500\sqrt{\rho T}$$

Animation adapted from the original by M. Unsworth (https://sites.ualberta.ca/~unsworth/MT/MT.html)

Considere os seguintes cenários:

- 1) Uma sondagem MT realizada em uma bacia sedimentar, com resistividade média de 10  $\Omega$ m. Qual a profundidade de investigação (*skin depth*) para um período de 0,1 s? E para um período de 10 s?
- 2) Uma sondagem MT realizada fora da bacia sedimentar, sobre rocha cristalina com resistividade média de 1000  $\Omega$ m. Qual a profundidade de investigação para um período de 10 s?

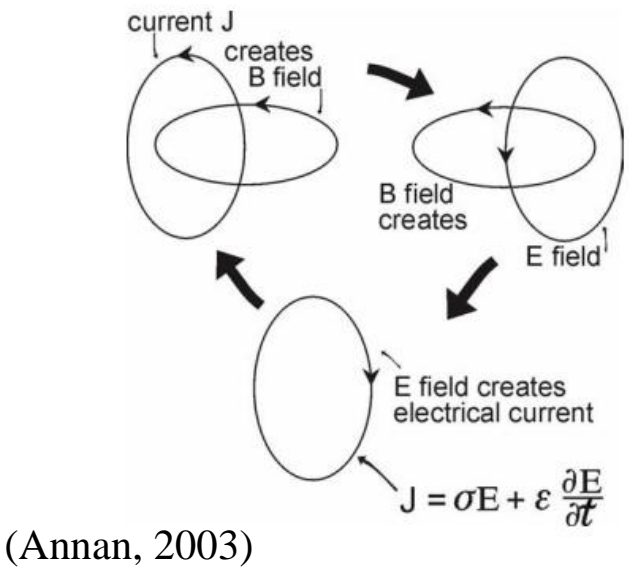
$$\delta \cong 500\sqrt{\rho T}$$



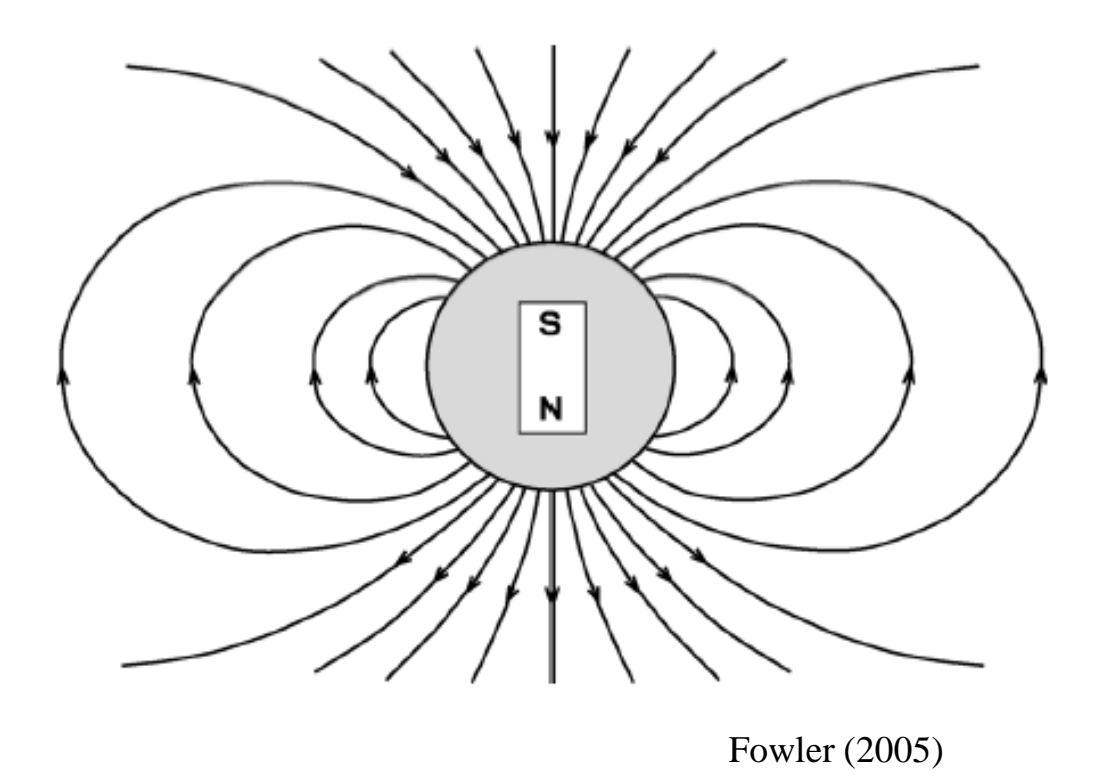
A cartoon of the continents and oceans showing key features and typical ranges of resistivity in each; numbers shown are  $\log_{10}(\text{resistivity}/\Omega \text{ m})$ .

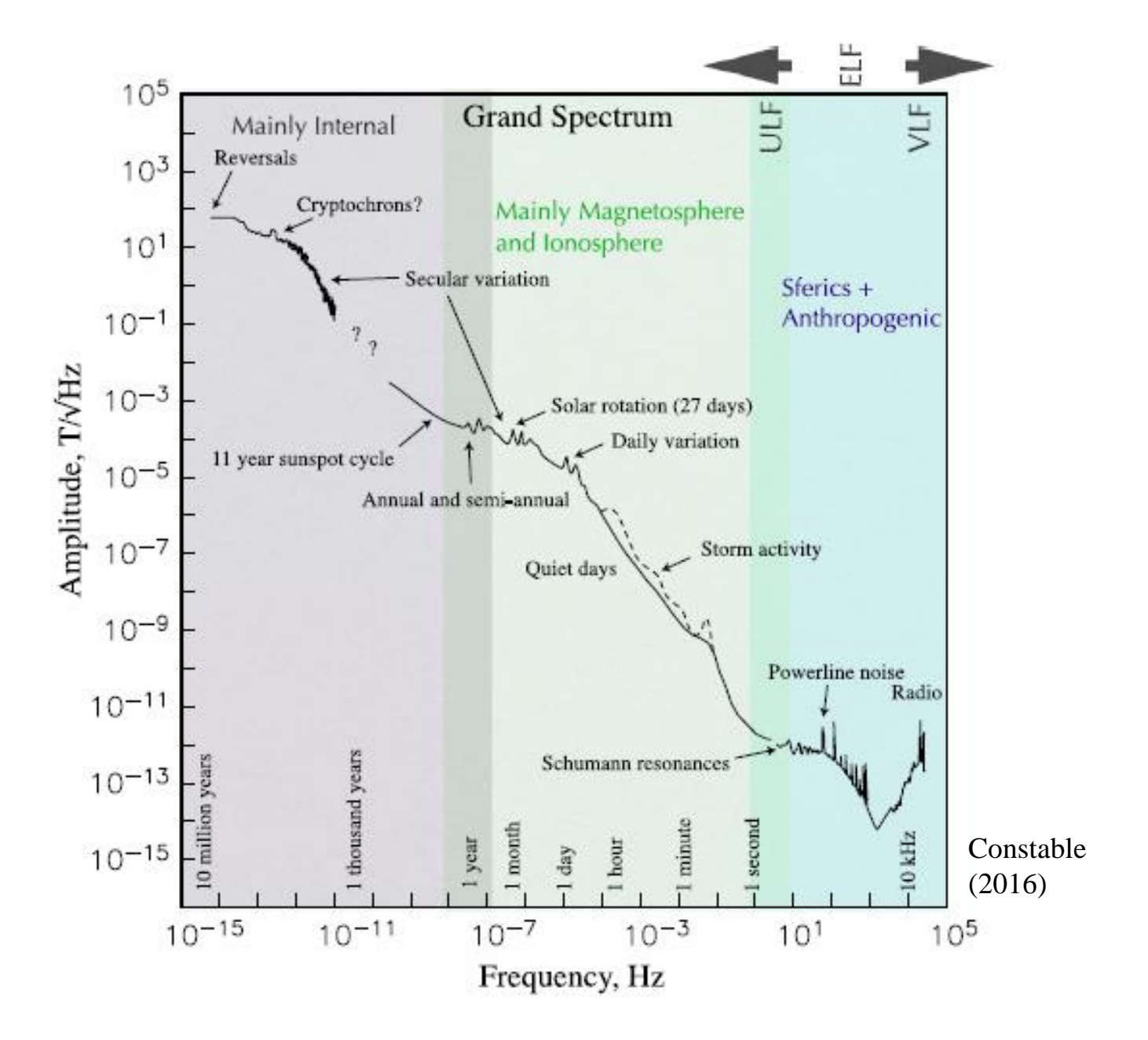
## Princípio

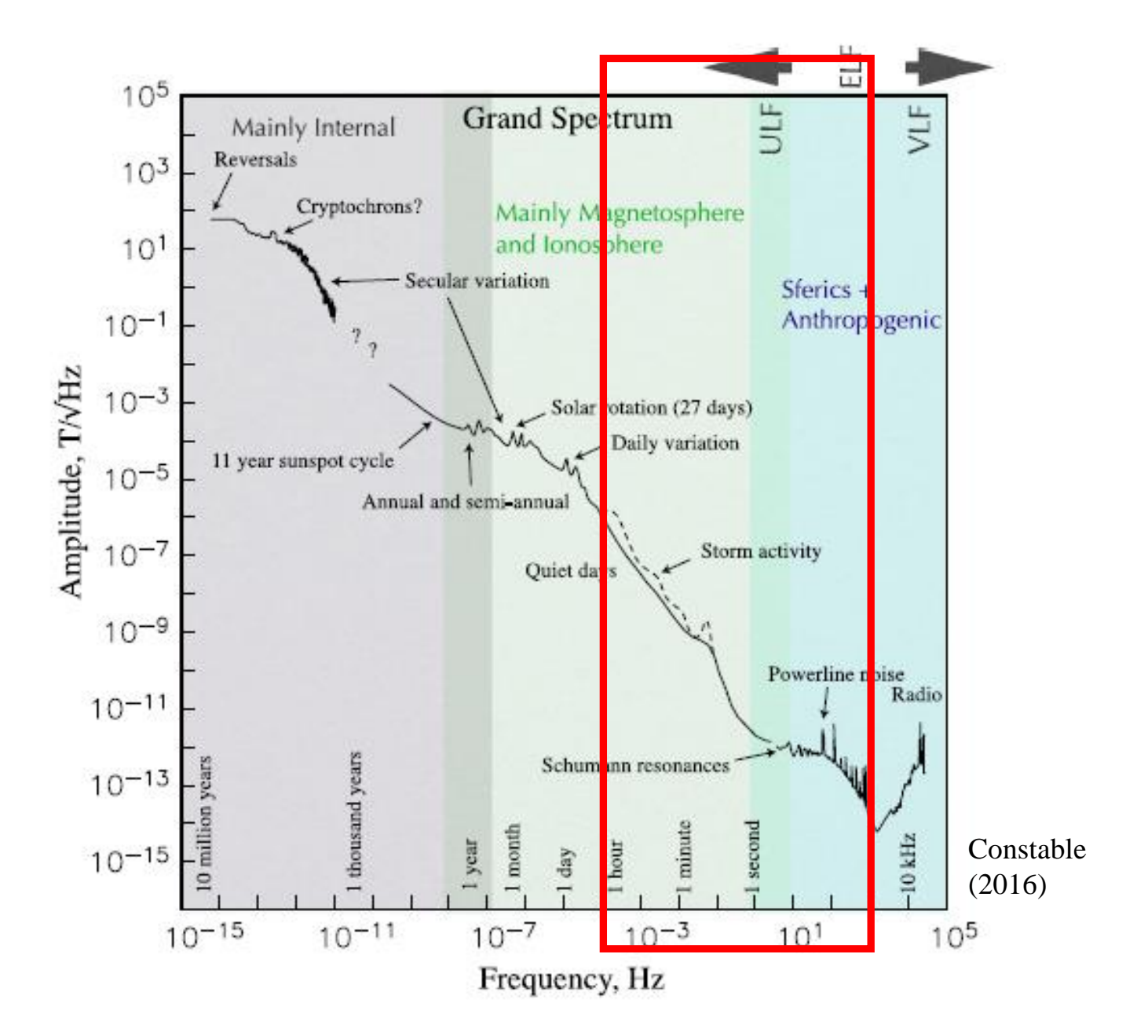
- Oscilações naturais do campo geomagnético → fonte para a indução eletromagnética
- Variações no campo magnético induzem correntes elétricas (Lei de Faraday);
- As correntes, por suas vezes, induzem um campo magnético secundário (Lei de Ampère).



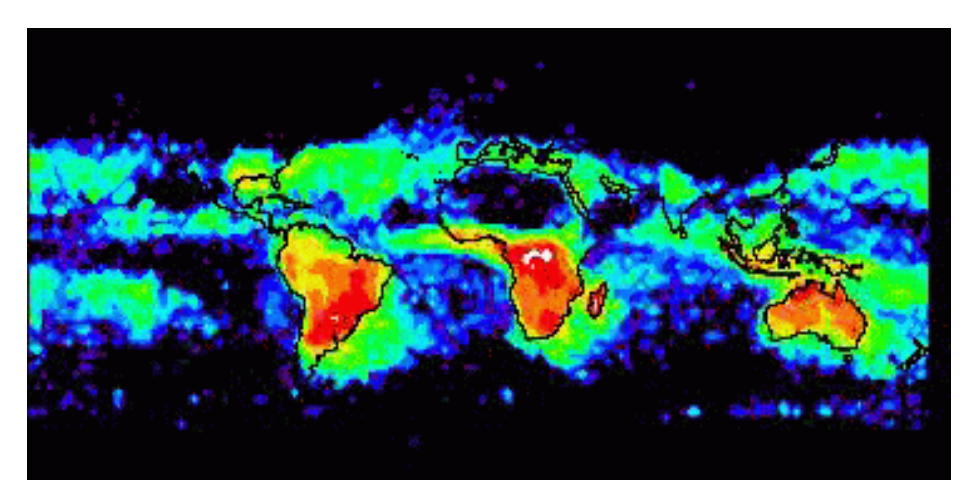
# A fonte do sinal



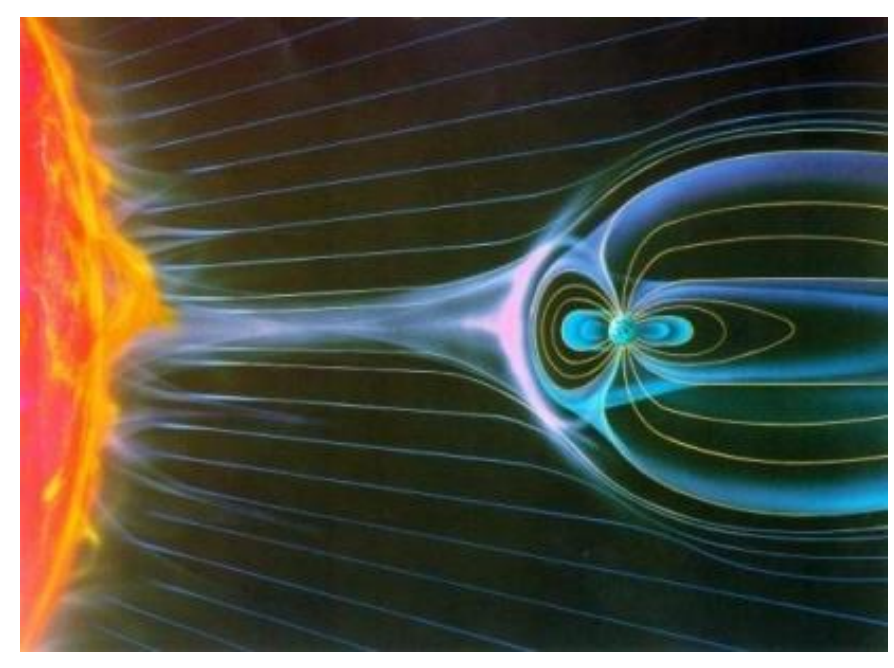




T < 1s T > 1s



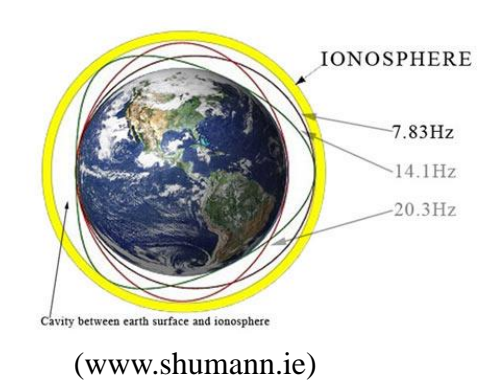
Number of lightning strikes/km² - yearly variation (NSSTC)



NASA (sci.esa.int)



(www.inpe.br/webelat)



(https://solarsystem.nasa.gov/resources/2286 /modeling-earths-magnetism/)

### Como fazer MT?

Resistividade obtida pela razão entre os campos EM:

$$\rho = \frac{T}{2\pi\mu_0} \left| \frac{E_x}{H_y} \right|^2$$

Japão: Kato e Kikuchi (1950) e Rikitake (1950)

I. Notes on the Electromagnetic Induction
within the Earth.

By Tsuneji Rikitake,
Earthquake Research Institute.

(Read Feb. 19 and June 18, 1946. - Received June 30, 1946.)

União Soviética: Tikhonov (1950)

#### ON DETERMINING ELECTRICAL CHARACTERISTICS OF THE DEEP LAYERS OF THE EARTH'S CRUST

A. N. Tikhonov

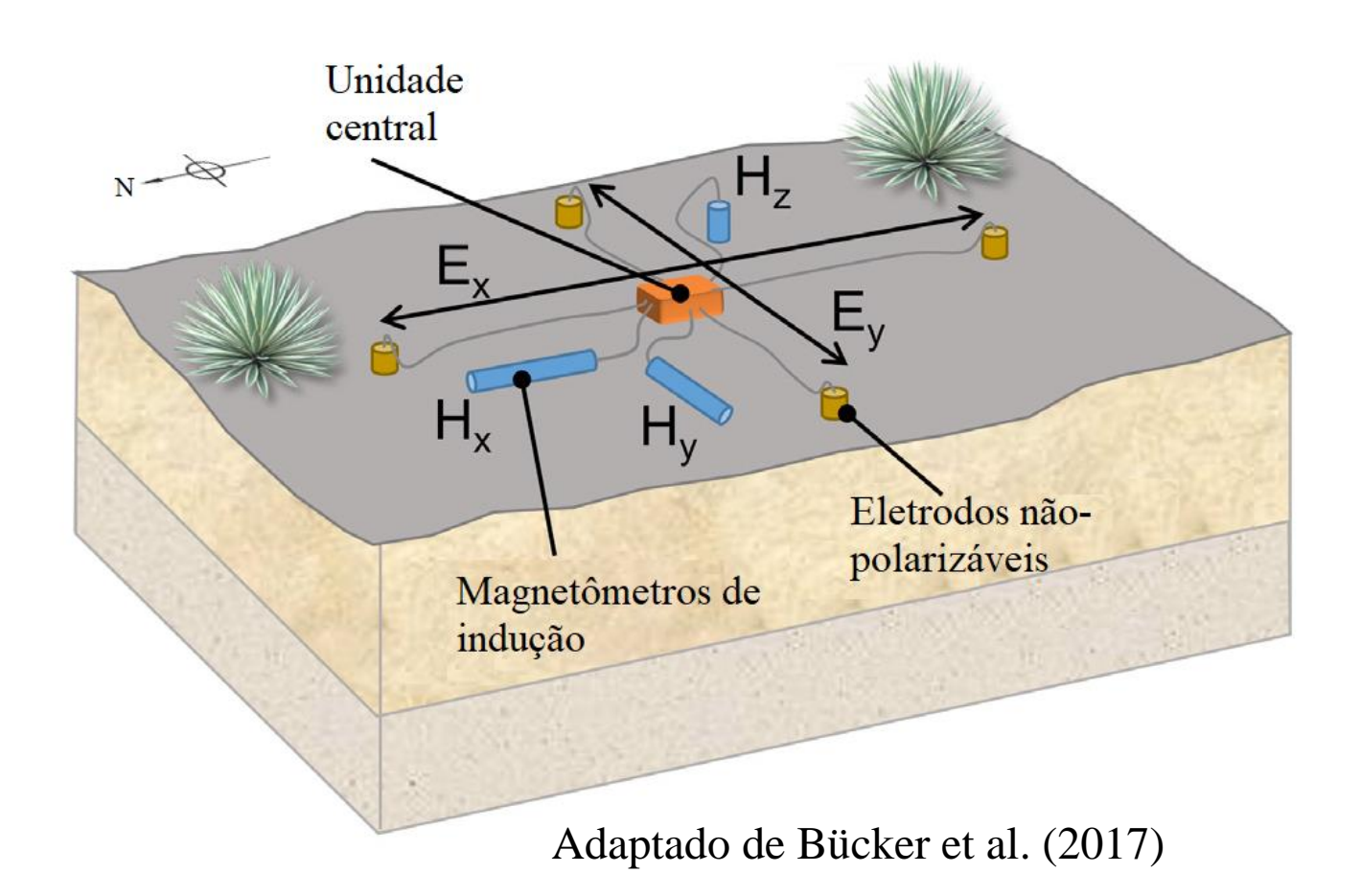
Geophysical Institute Academy of Science, USSR Institute of Scientific Investigations of the Earth Magnetism Translated by L. Perlovsky and C. Tarlowski

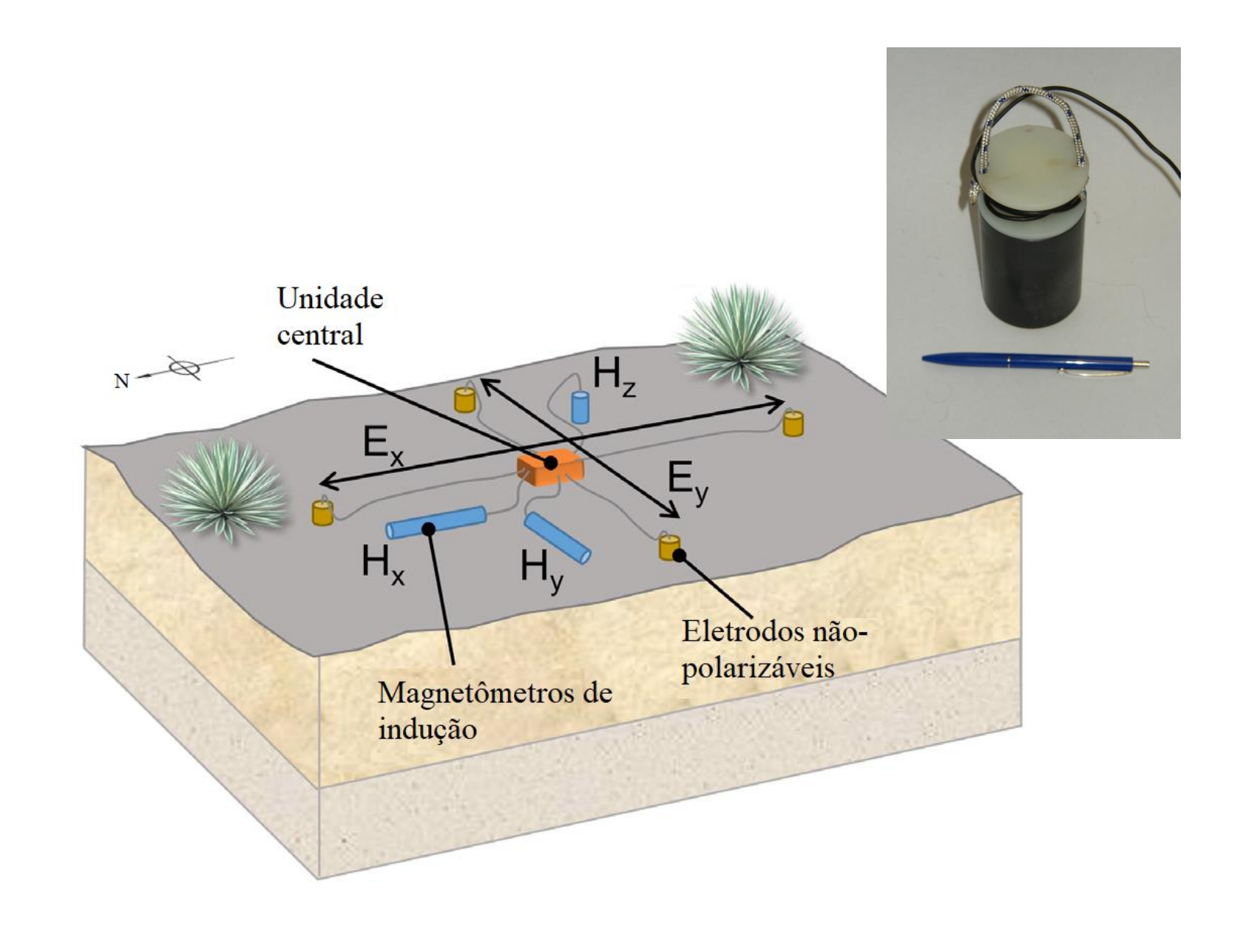
França: Cagniard (1952)

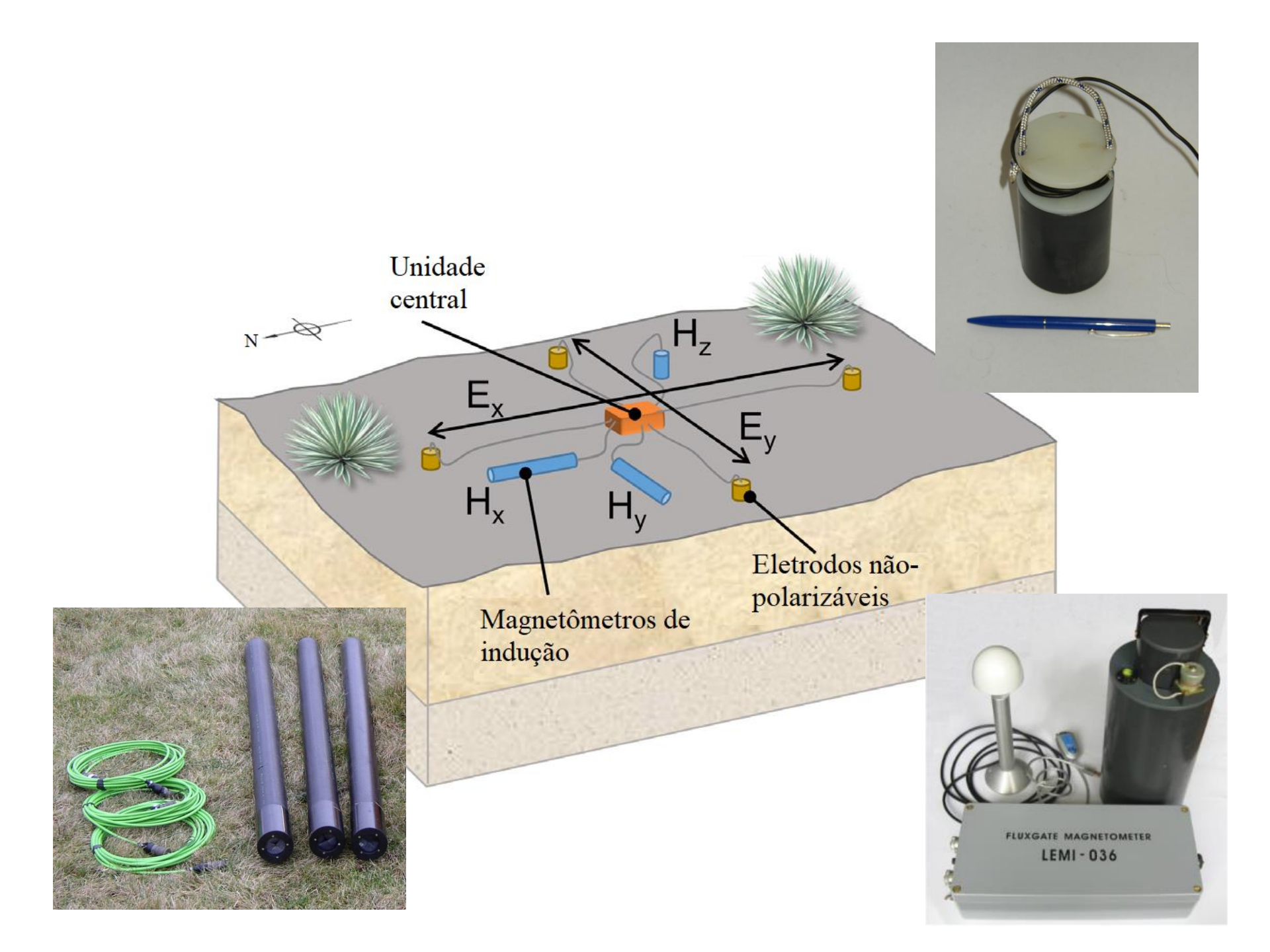
BASIC THEORY OF THE MAGNETO-TELLURIC METHOD OF GEOPHYSICAL PROSPECTING\*†‡

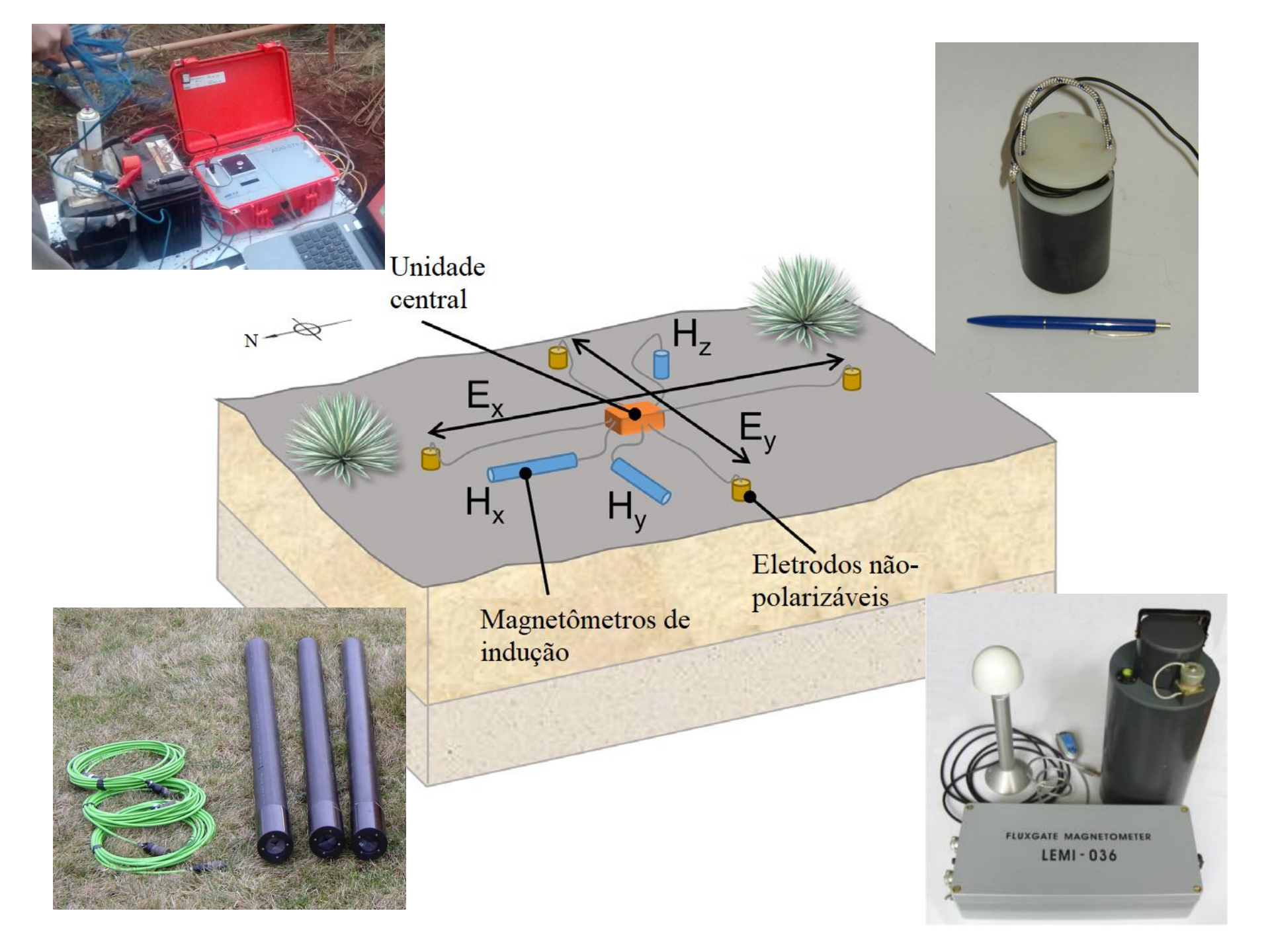
LOUIS CAGNIARD§

# Aquisição de dados







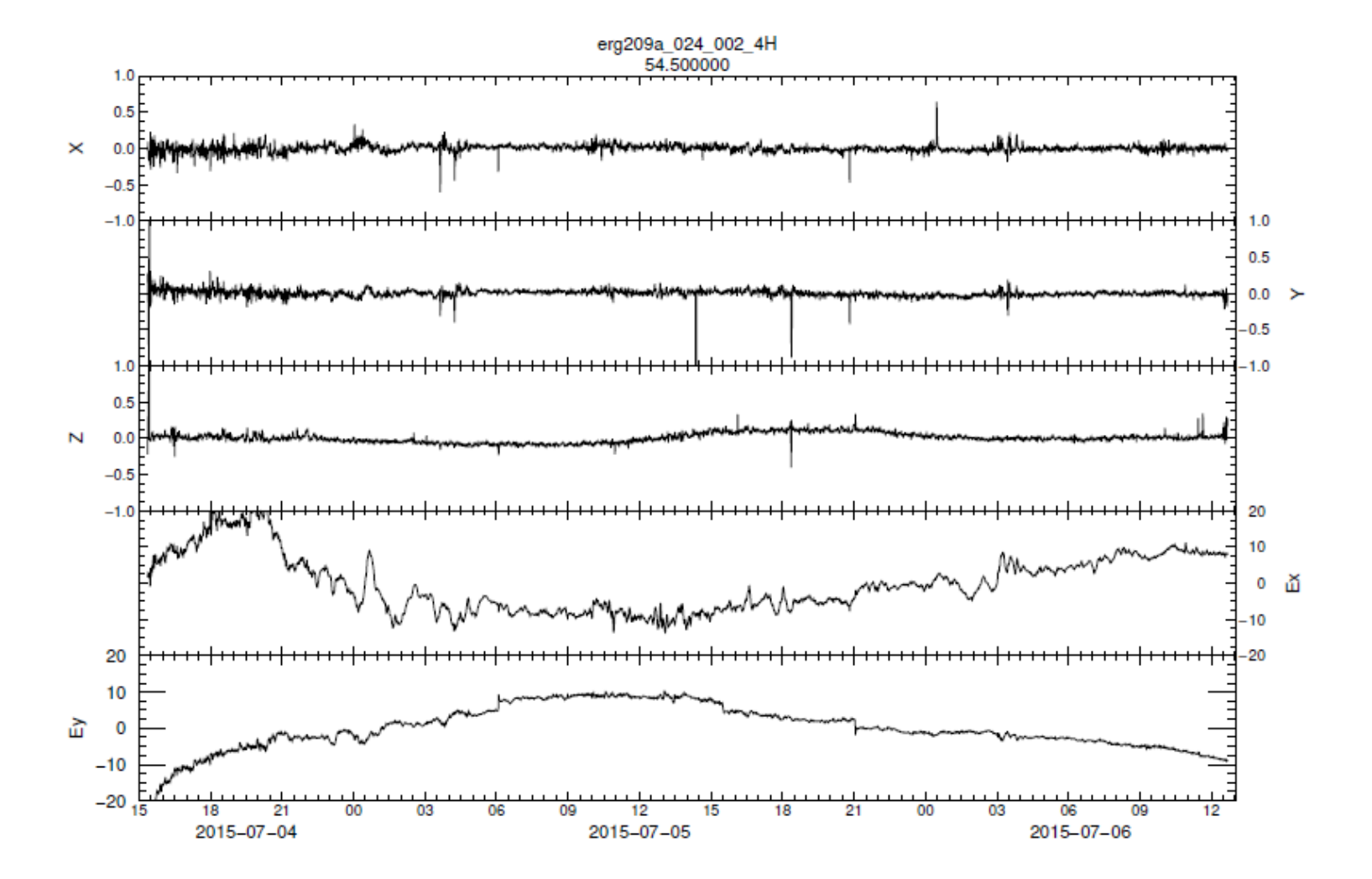












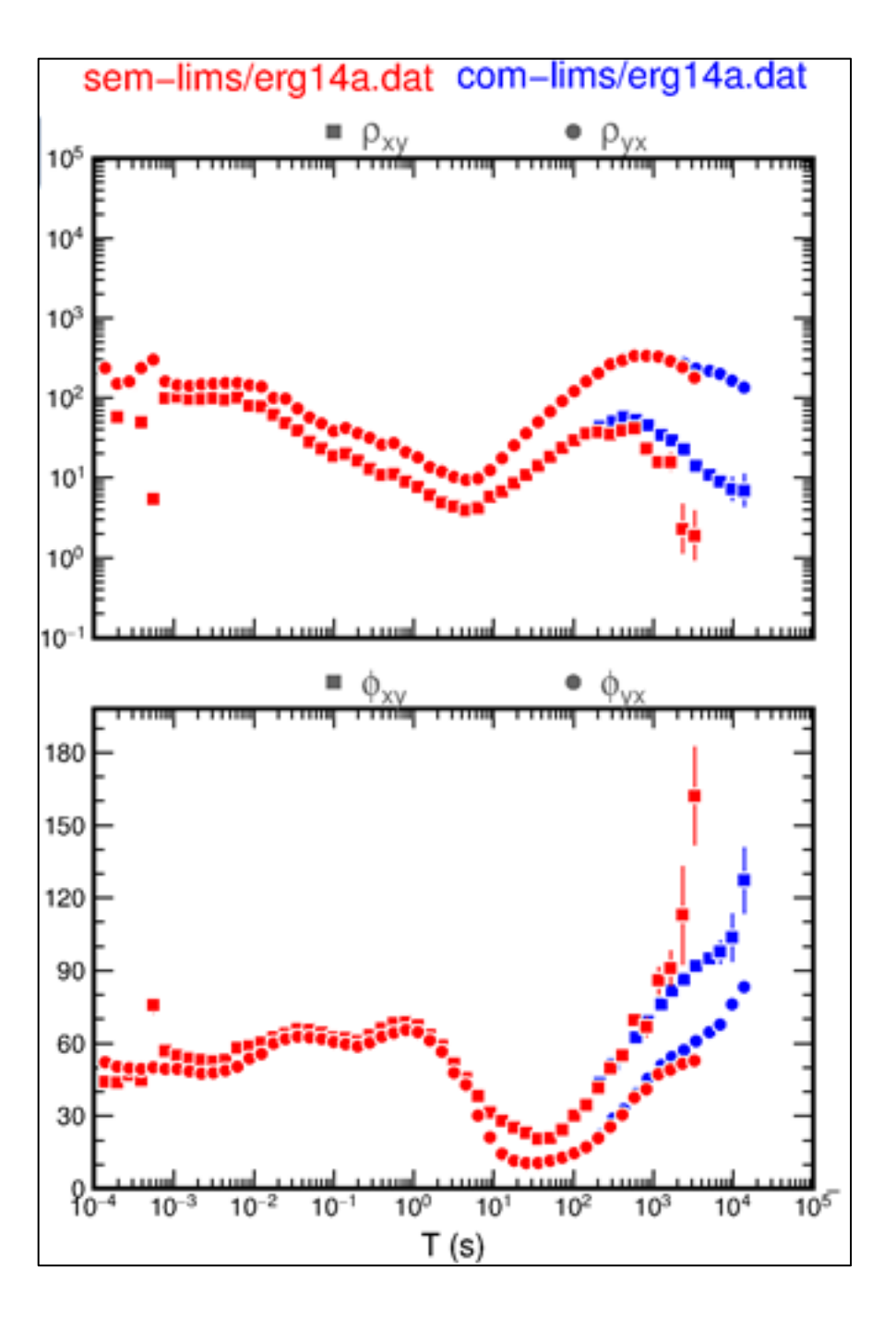
Série temporal

• FFT  $(T \rightarrow f)$ 

■ E/H – obtenção das curvas de resistividade e fase

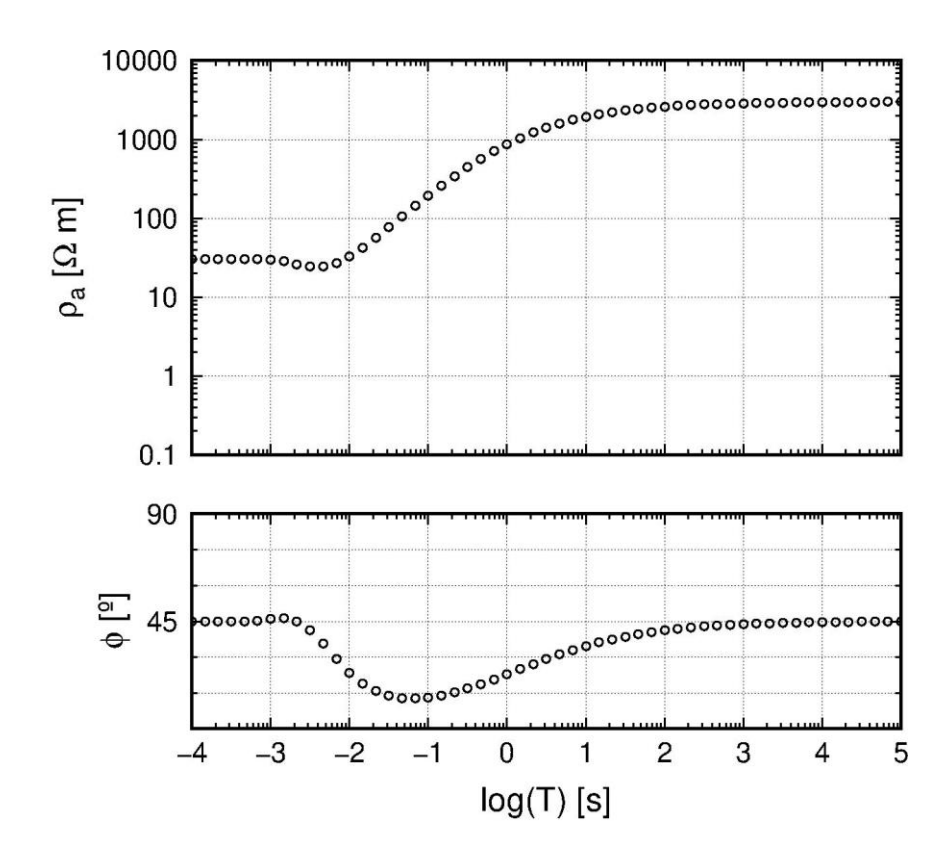
■ H/Hz – vetores de indução

- Banda-larga: normalmente de 24 a 48h;
  - Bobinas de indução;
  - Períodos de 10<sup>-4</sup> a ~3,600 s.
- Período longo: três a quatro semanas;
  - Magnetômetro *fluxgate*;
  - Períodos de 1 s a >10,000 s.

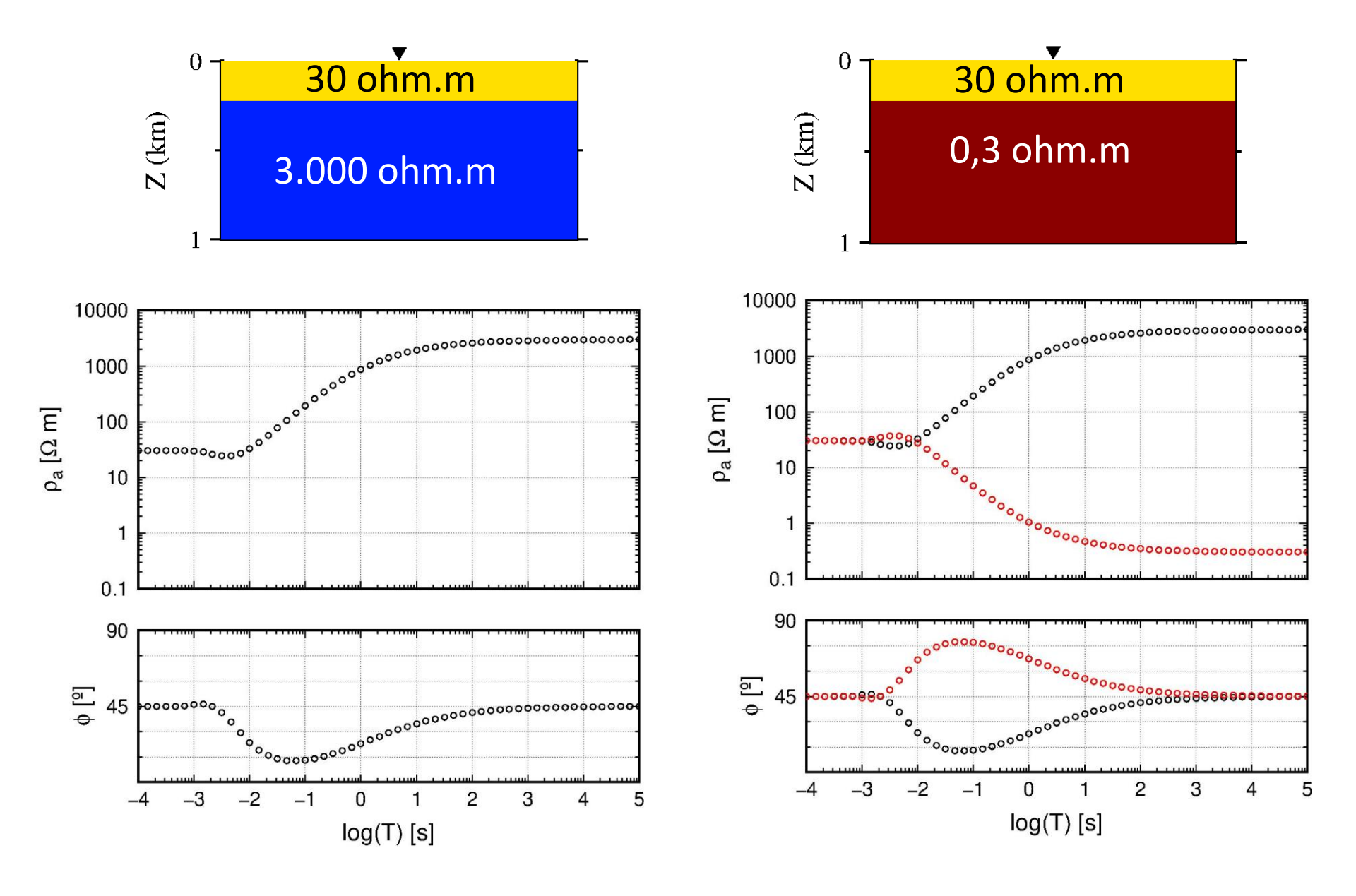


■ E/H – obtenção das curvas de resistividade e fase

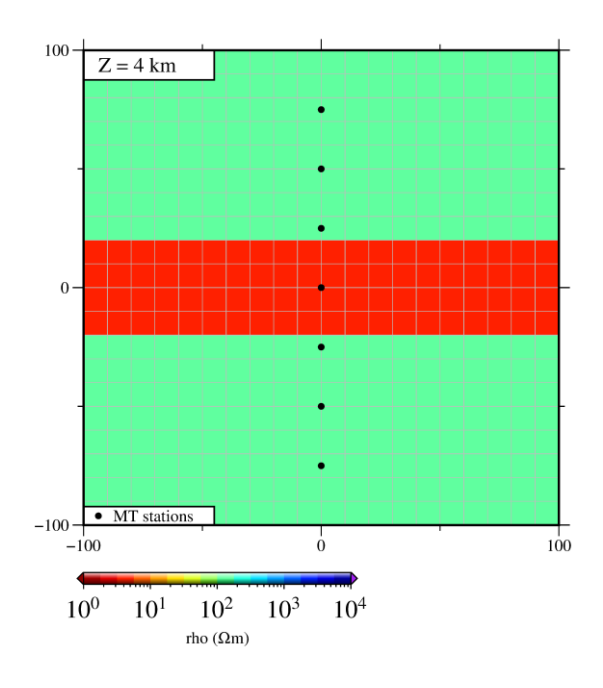


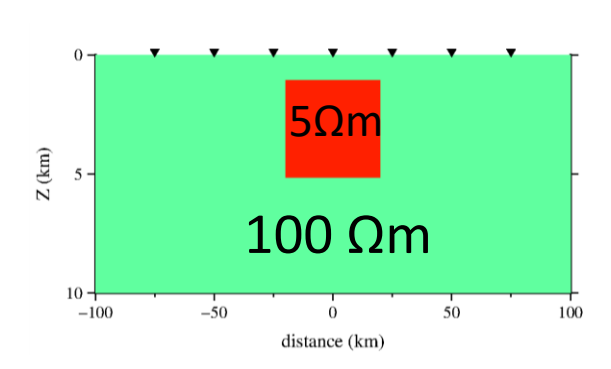


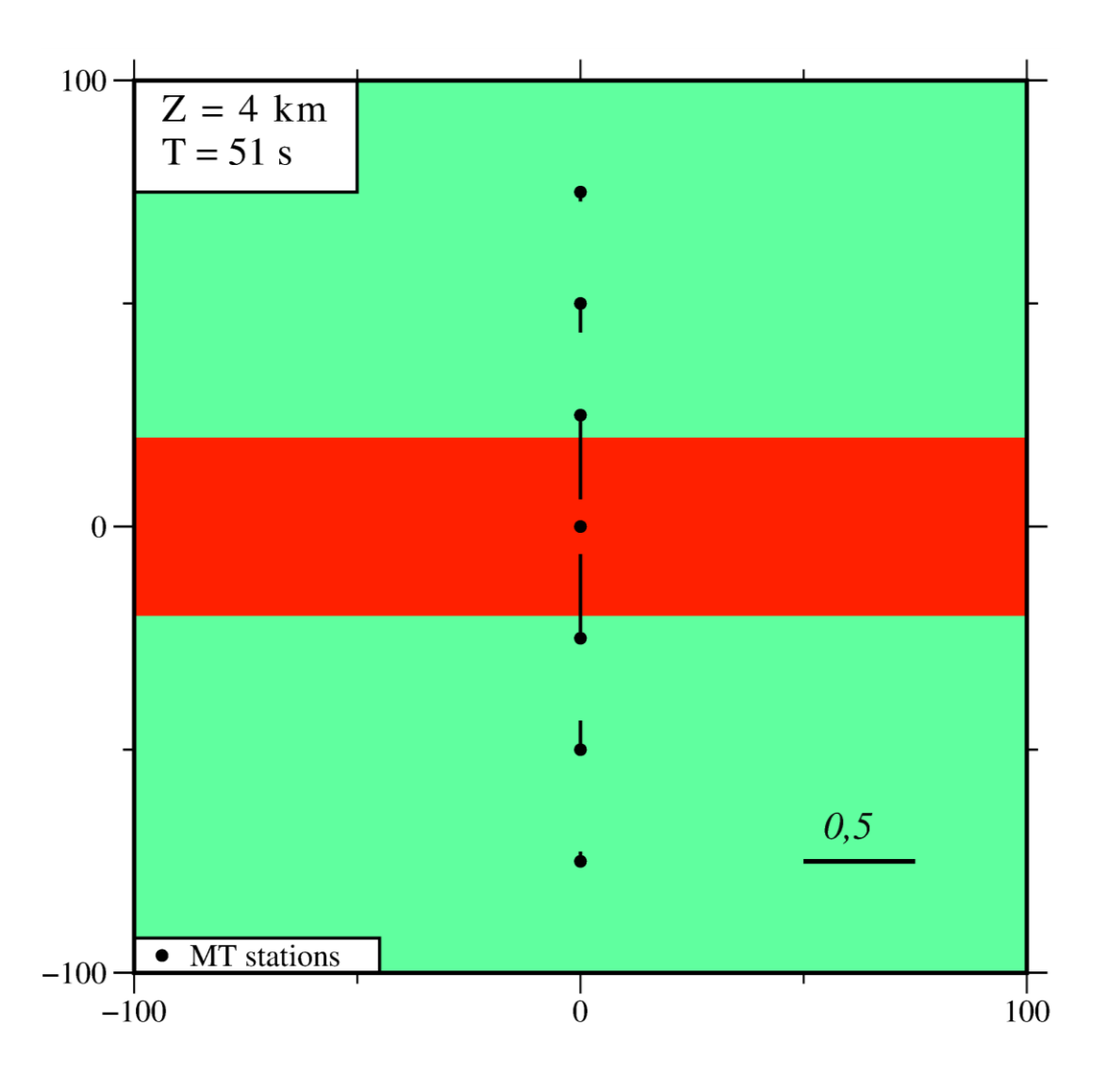
■ E/H – obtenção das curvas de resistividade e fase



#### ■ H/Hz – vetores de indução

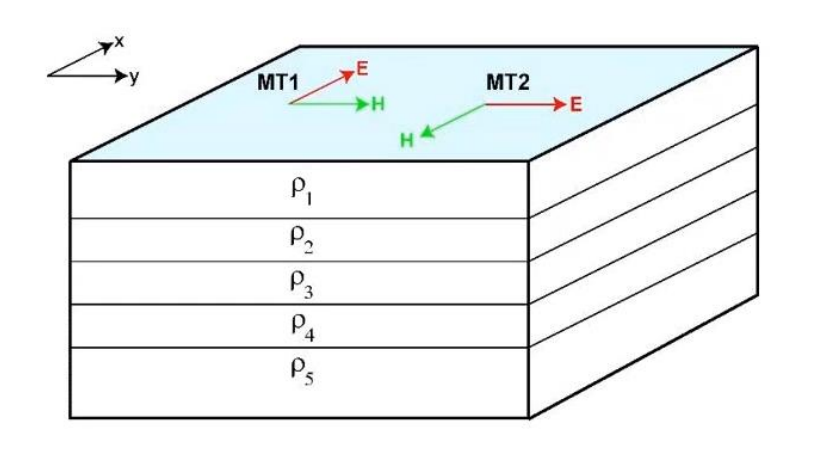


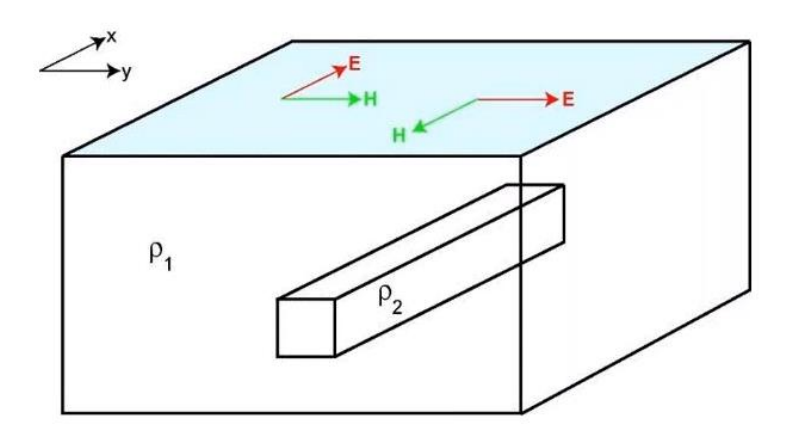




Obtenção de modelos elétricos que expliquem os dados.

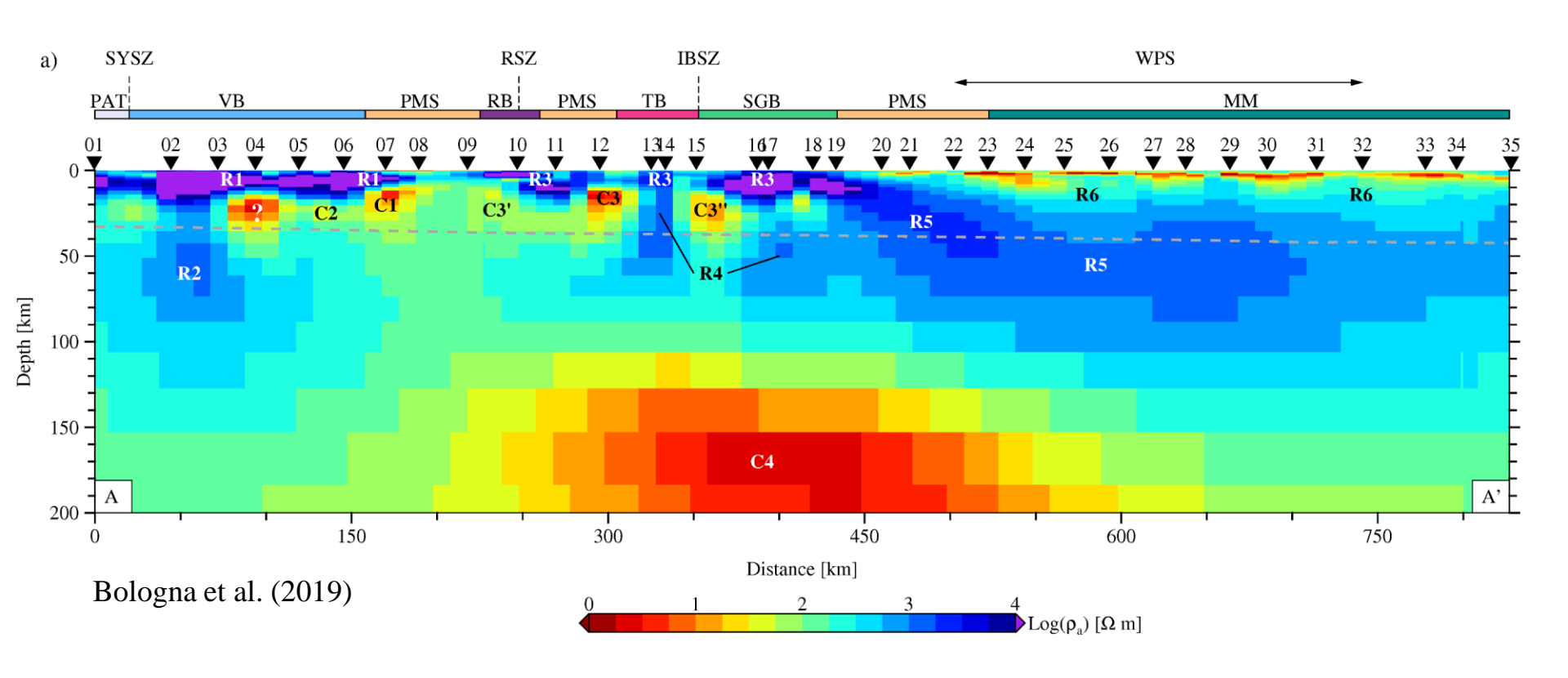
Modelos podem ser 1-D, 2-D ou 3-D





#### Inversão: dados medidos → modelo elétrico

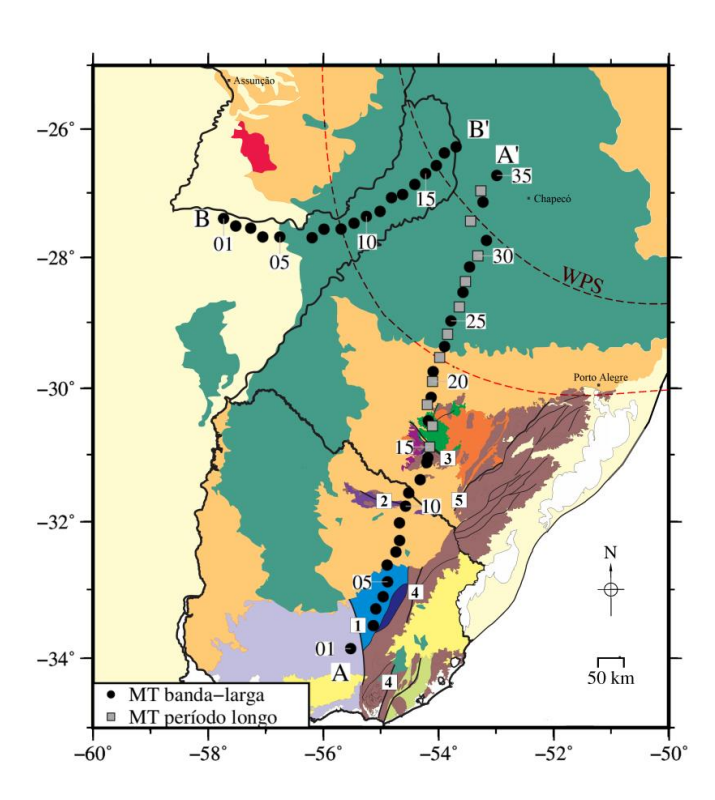
1-D, 2-D, 3-D

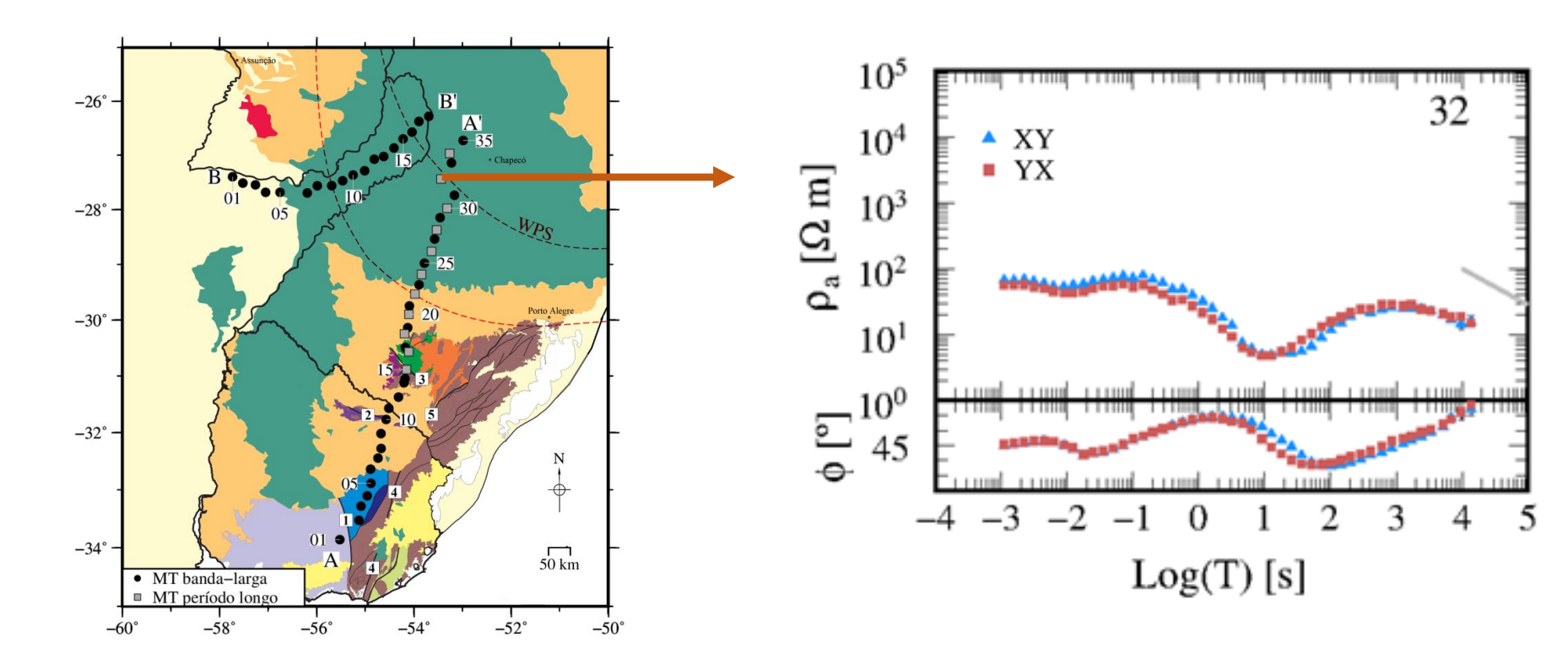


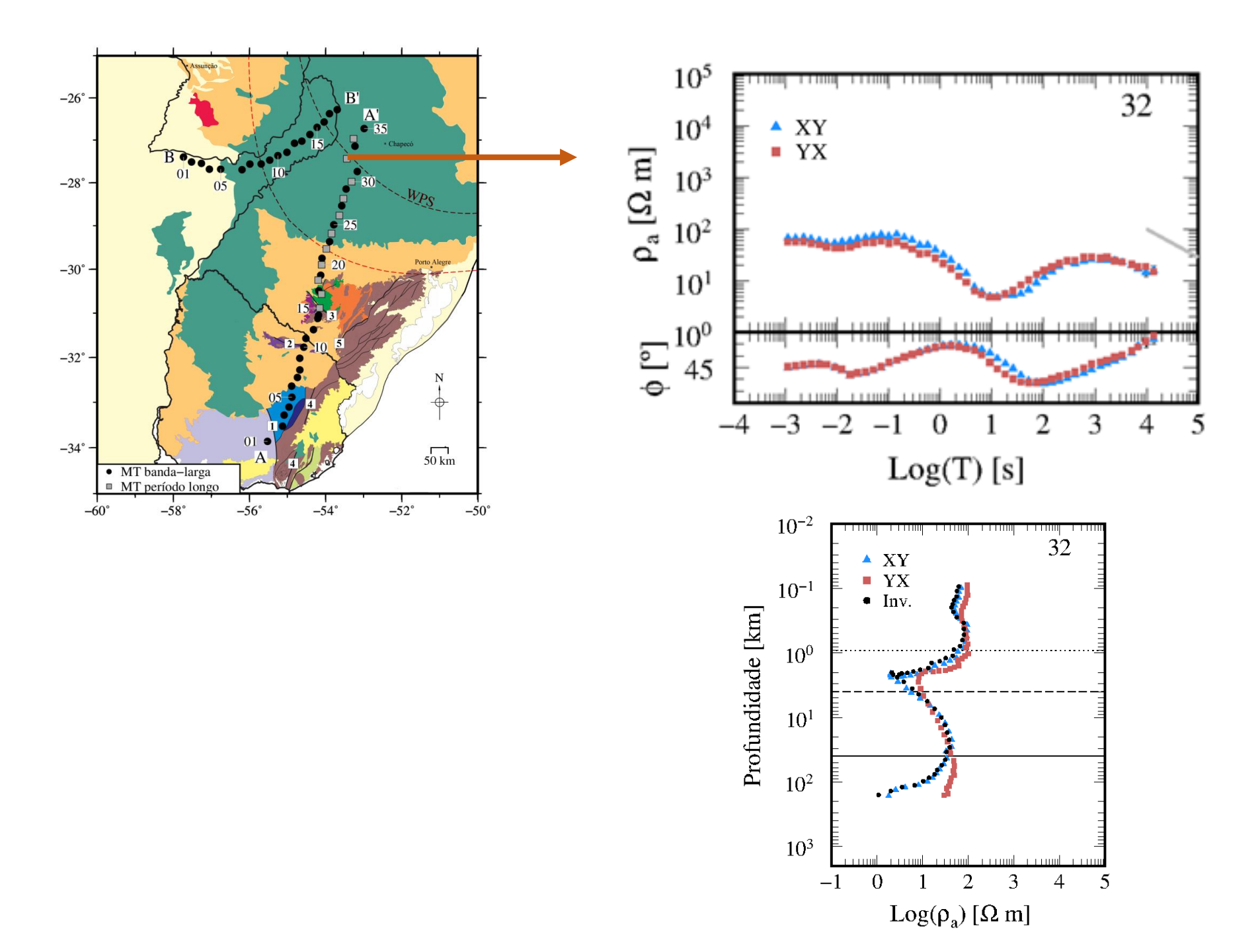
#### Parte 2

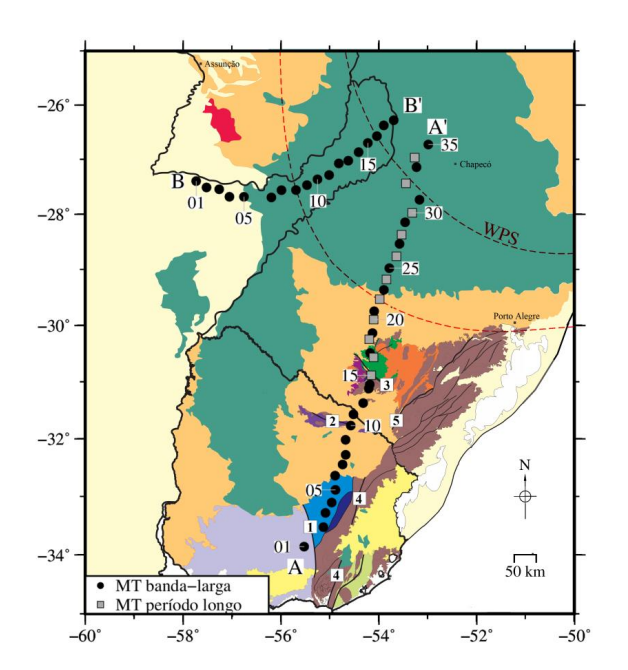
MT na América do Sul

Bacia do Paraná

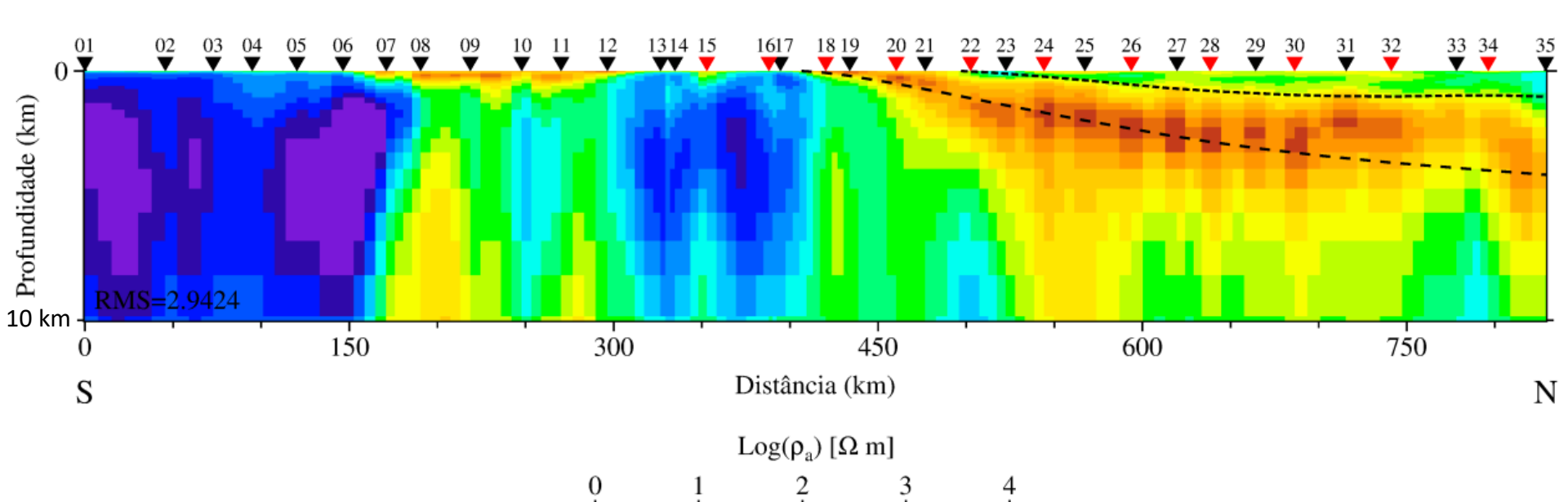


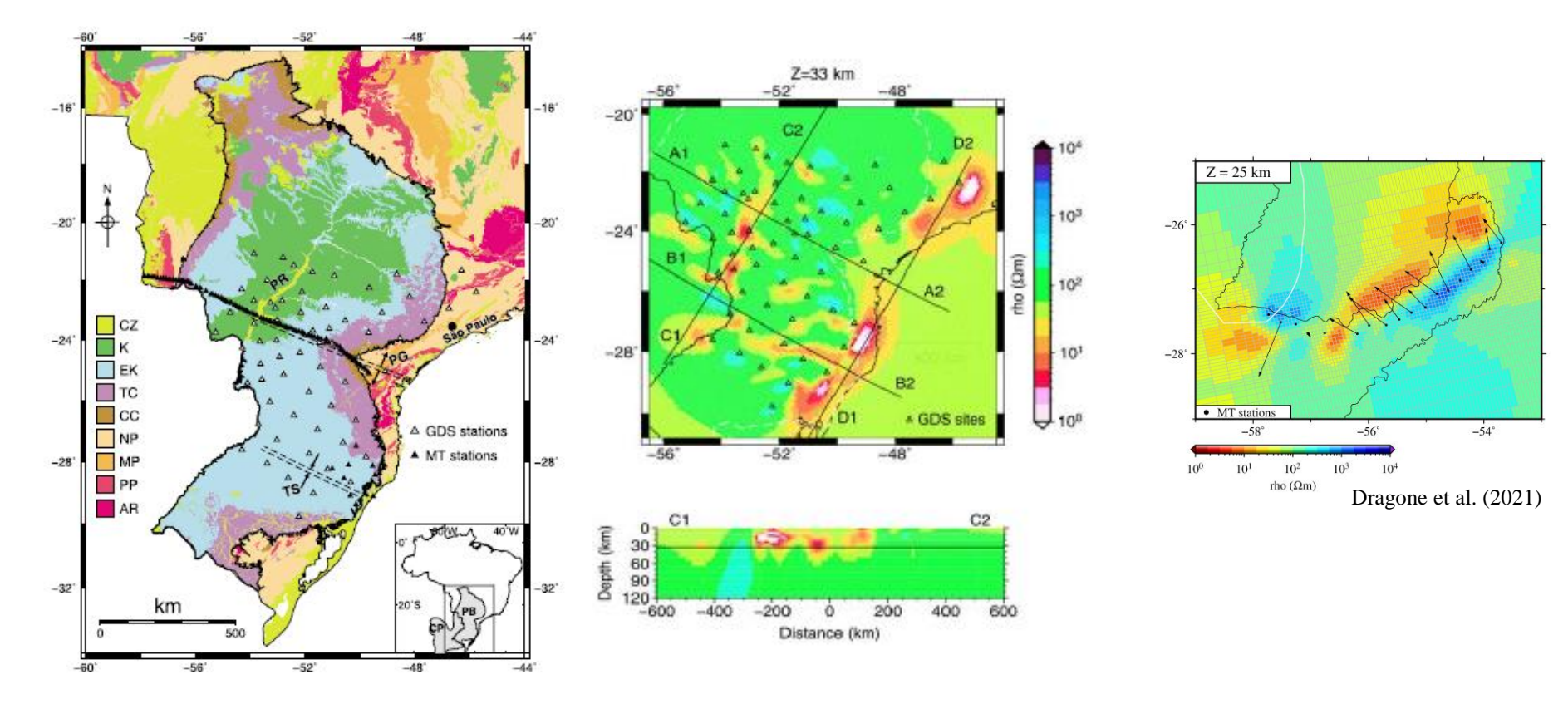




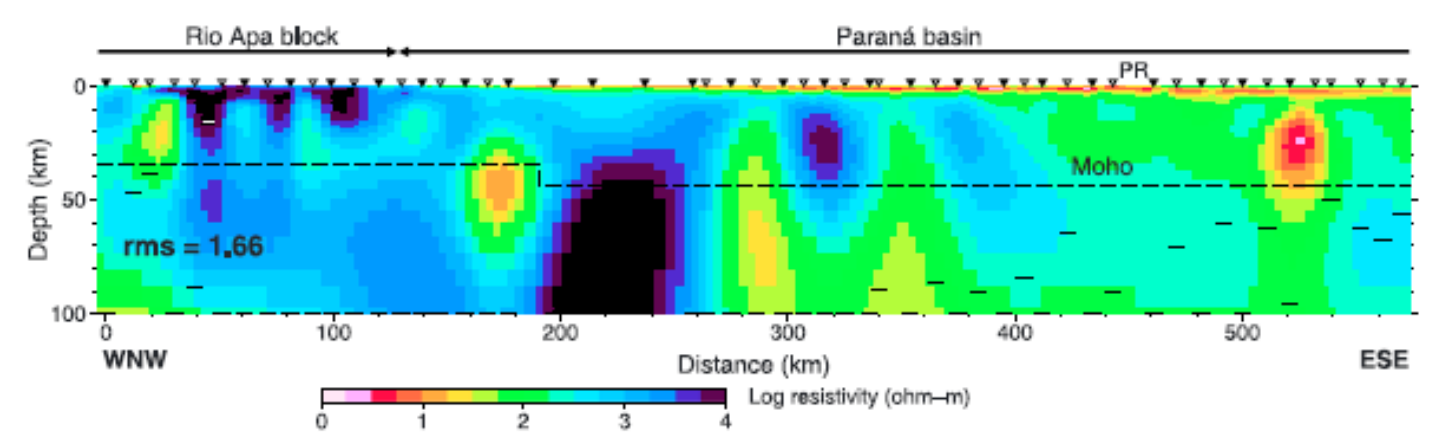


## Bacia do Paraná



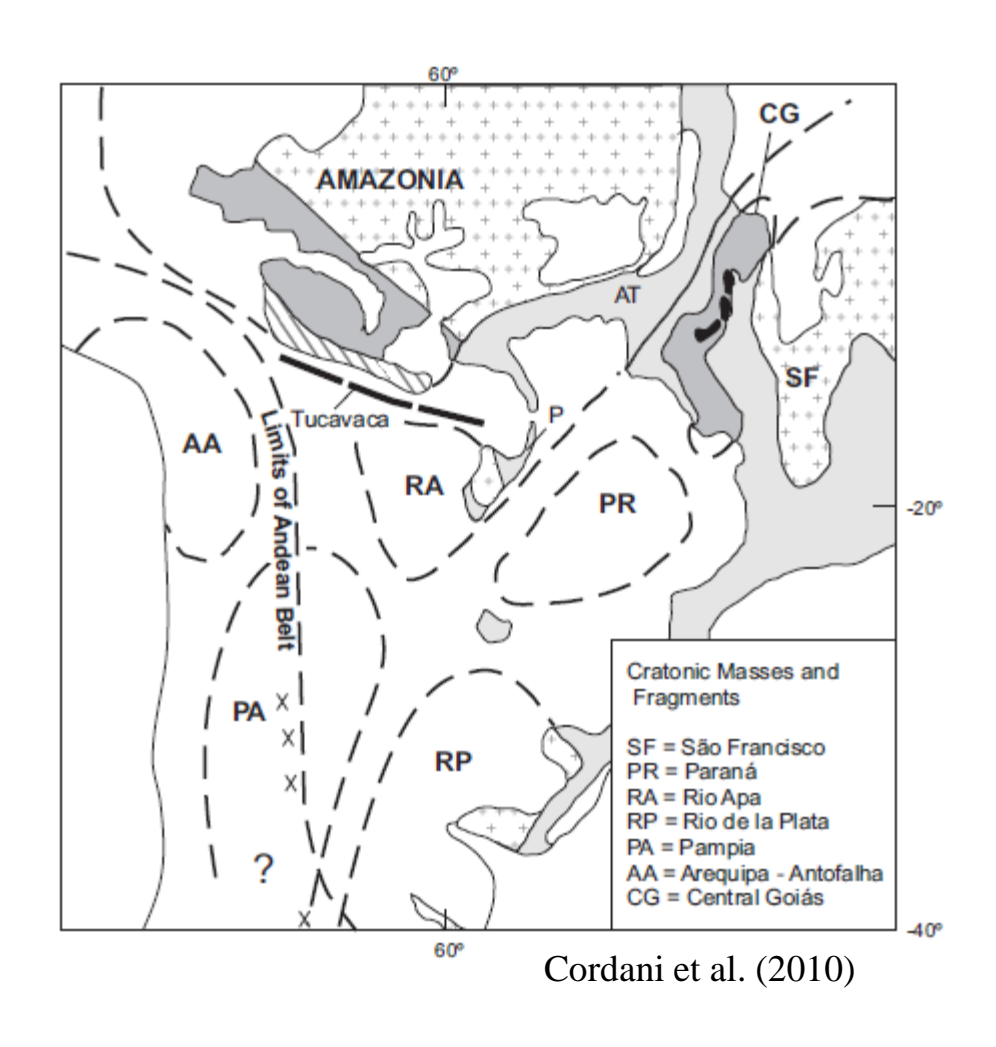


Padilha et al. (2015)

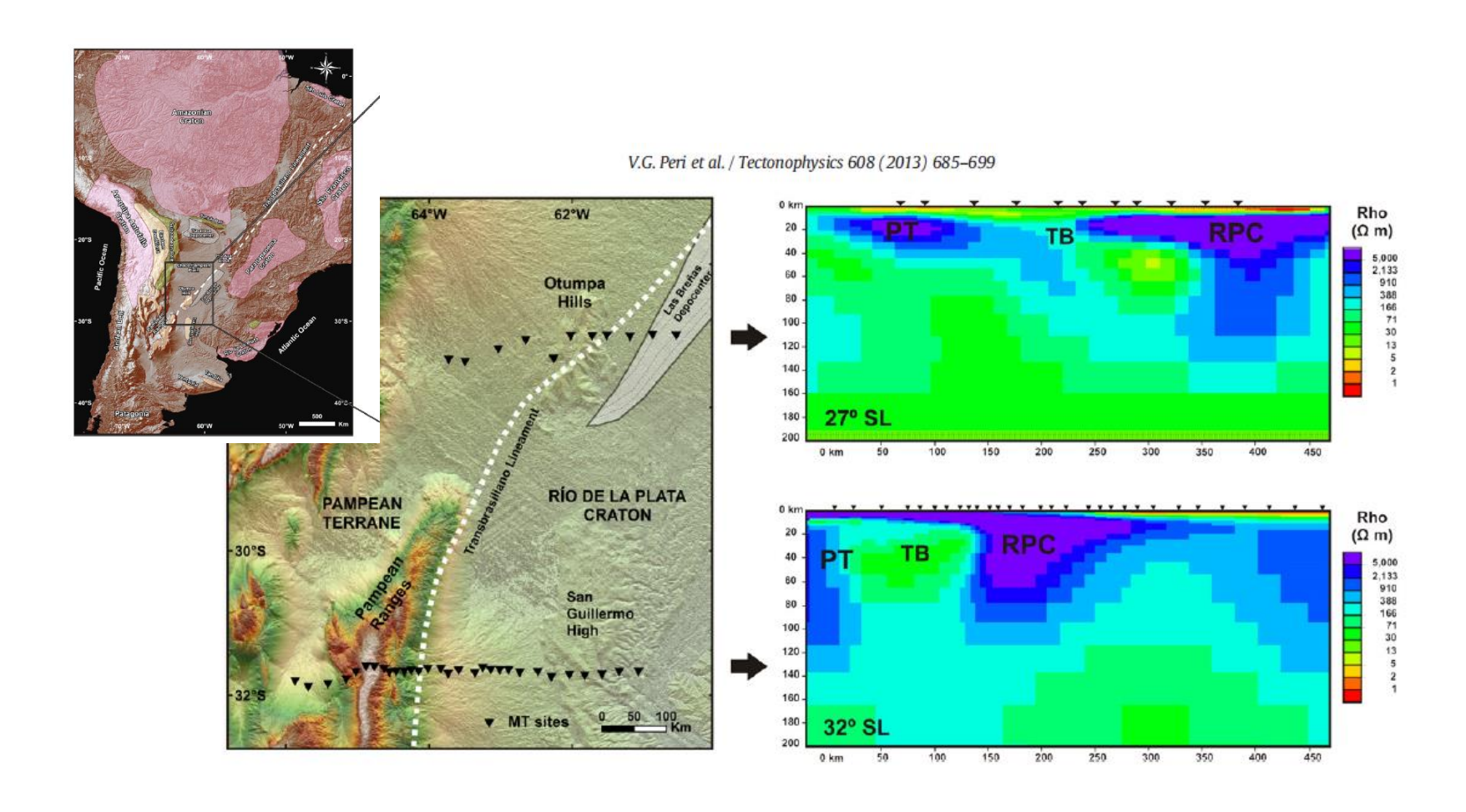


Pampia / Rio de la Plata

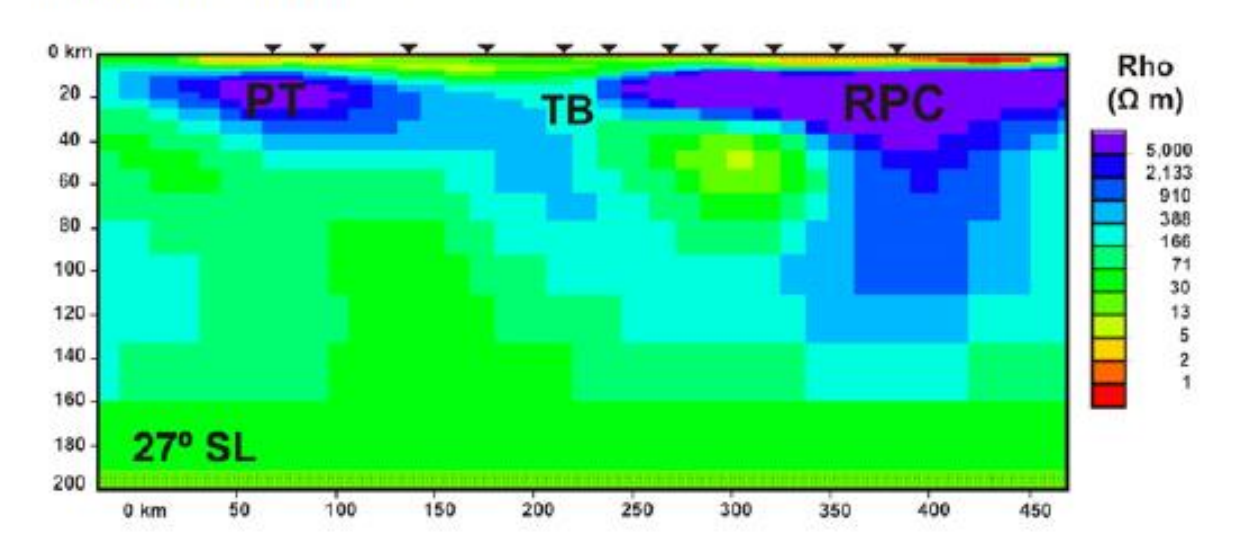
- Borda oeste do cráton Rio de la Plata: Terreno Pampia (Ramos, 2010)
- Região coberta por sedimentos.

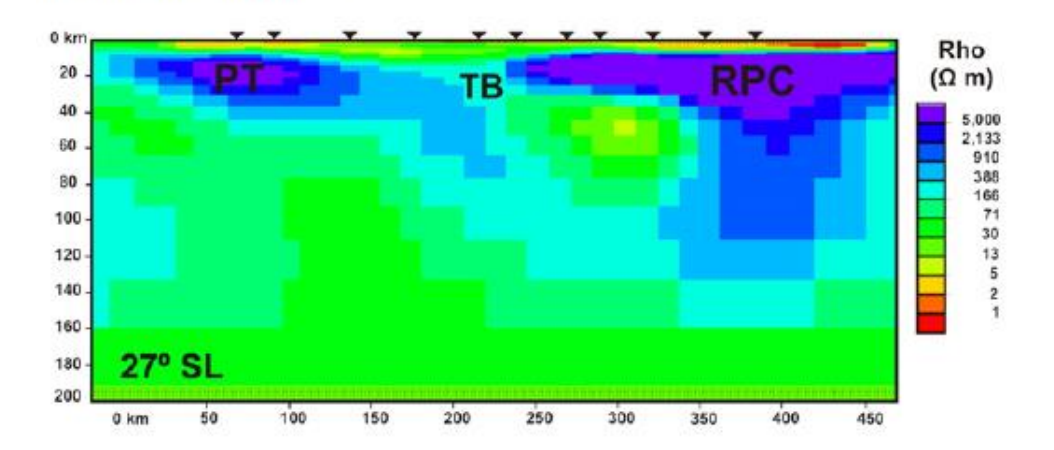


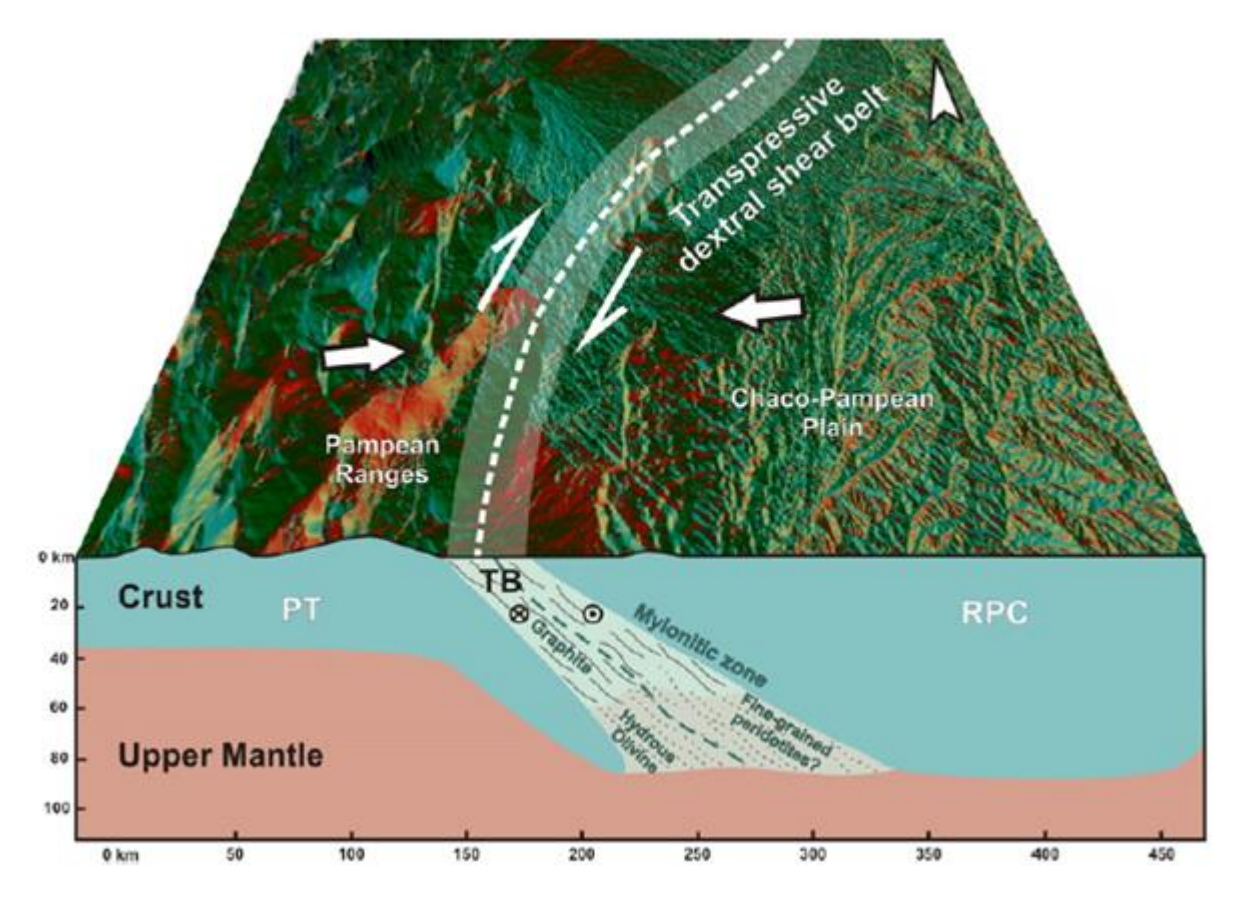
- Perfil MT W-E na BCP (Peri et al., 2013)
- Crosta média/inferior usualmente mais condutiva; não é o caso aqui;



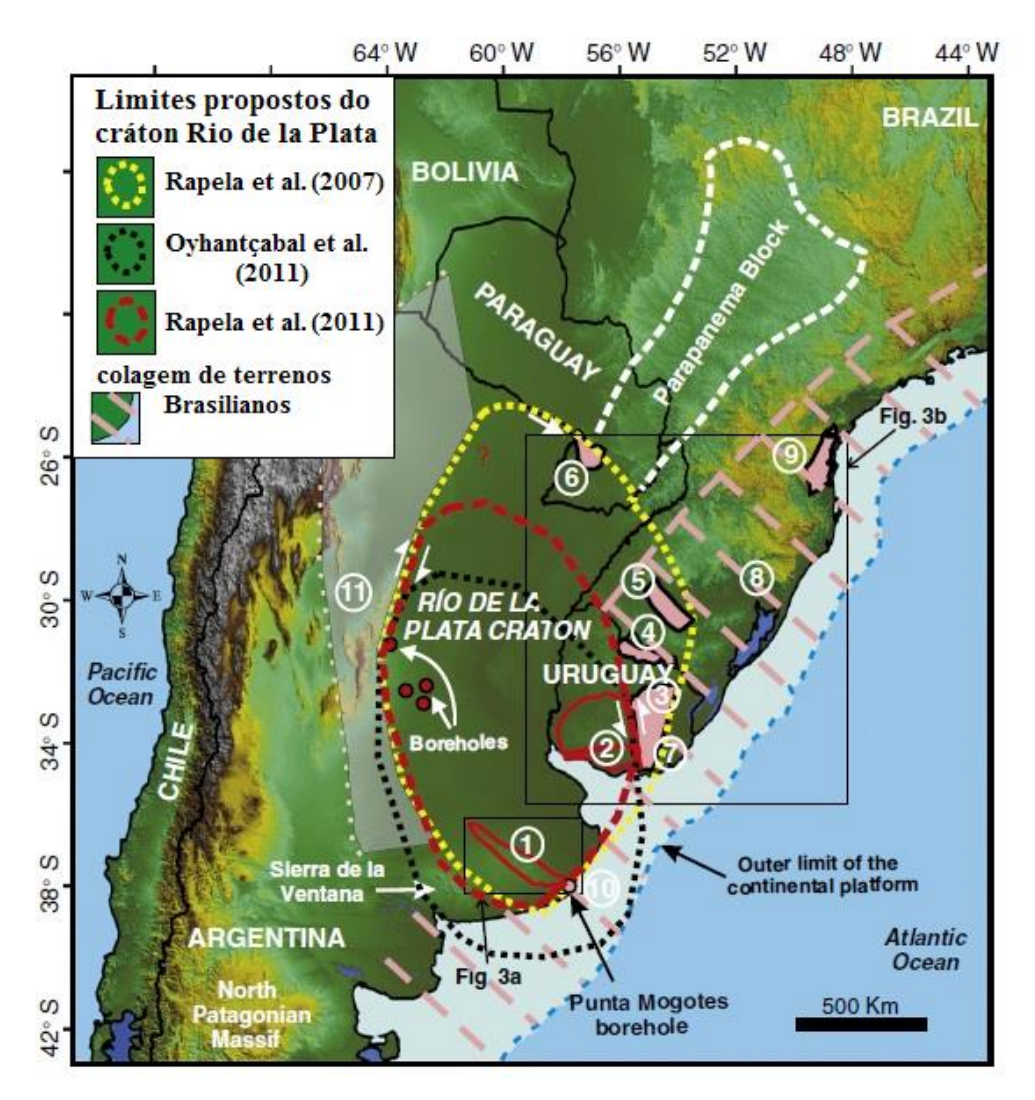
- Região estável;
- Condutor: descartam ideias de fluidos (consumidos ou volatilizados), sulfetos e óxidos (não há dados); carbonatitos (instáveis <130 km); fundidos parciais (não há basaltos na região);
- Alinhamento de filmes de grafita (orgânica em sedimentos; inorgânica a partir de CO<sub>2</sub> do manto);
- Compatível com zonas de colisão: convergência Neoproterozoica entre Pampia e RdP.
   mophysics 608 (2013) 685-699



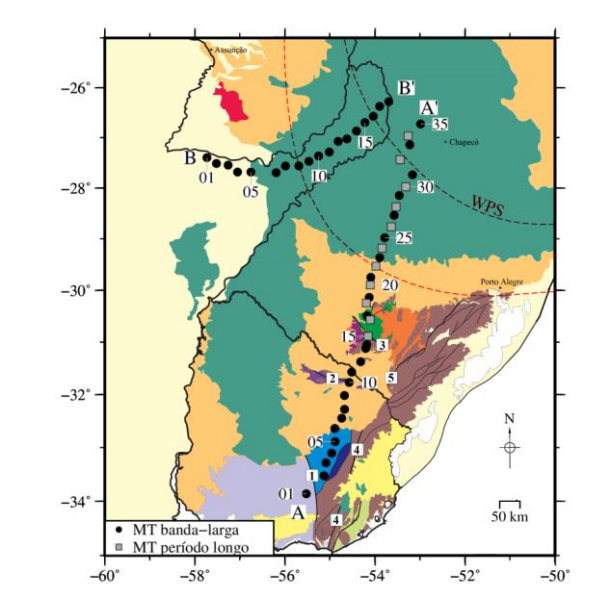




Rio de la Plata



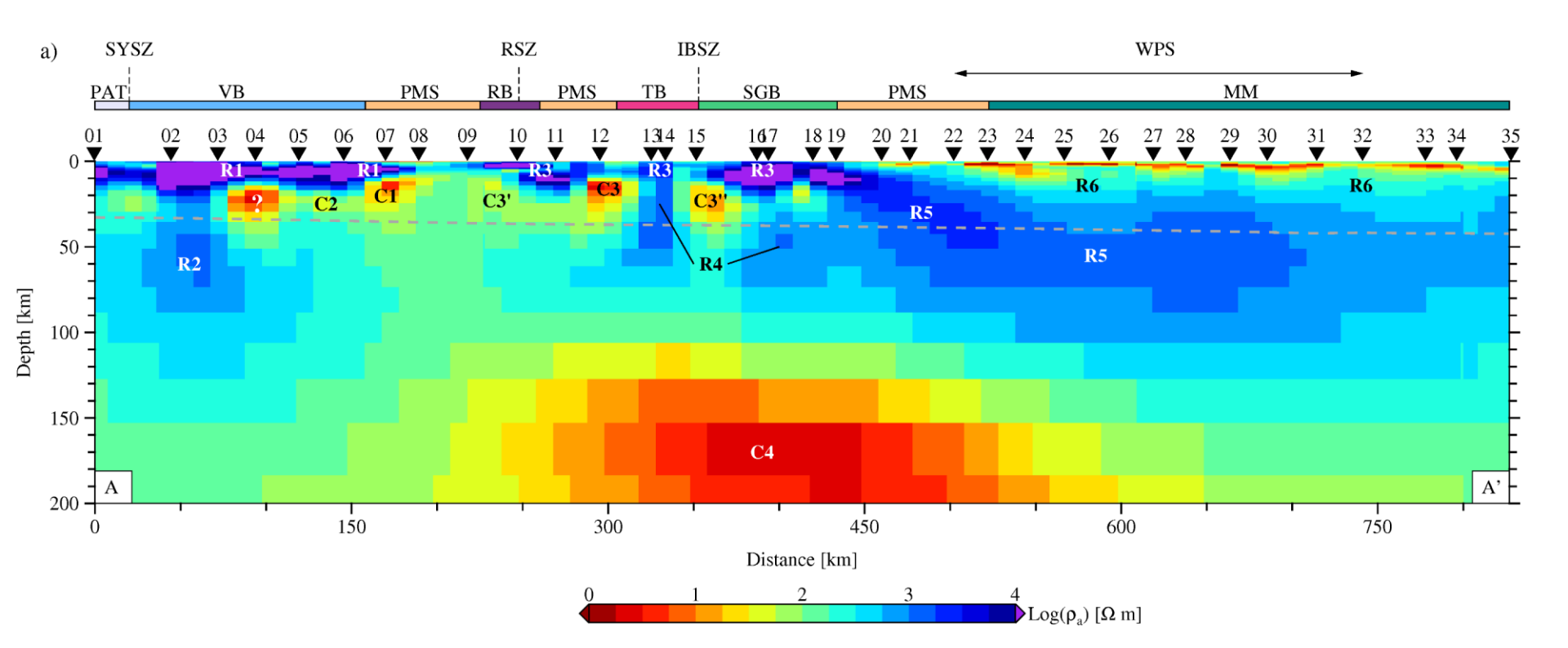
Adaptado de Rapela et al. (2011)

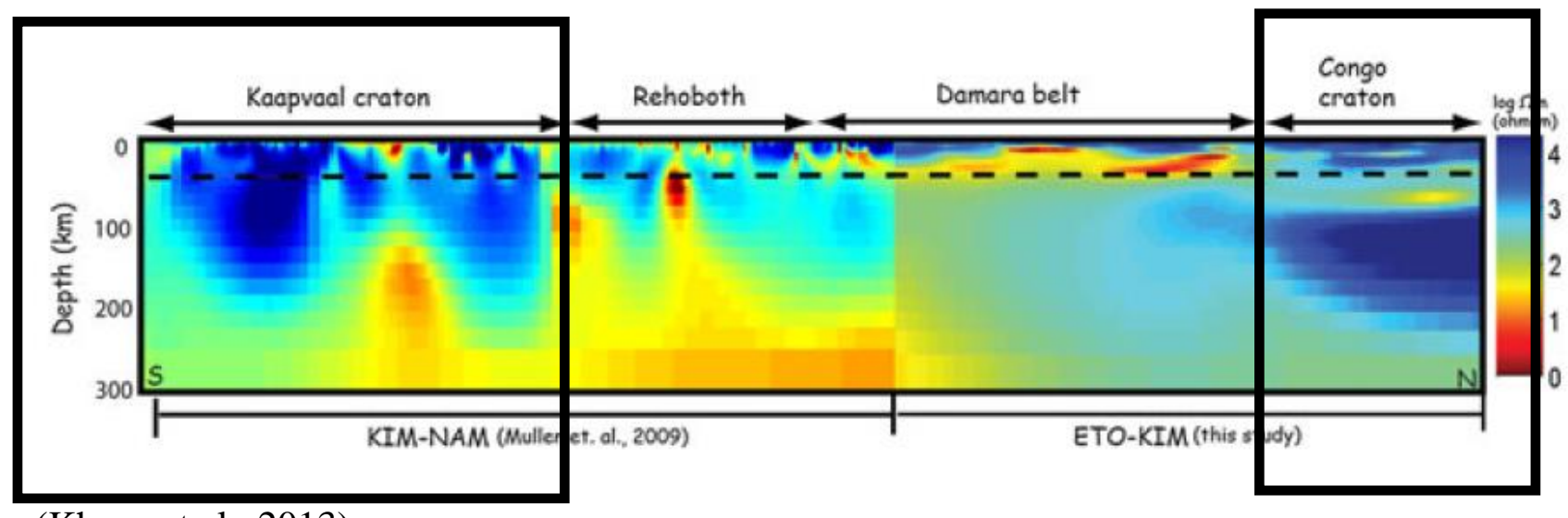


→ RdP – Rapela et al. (2007)

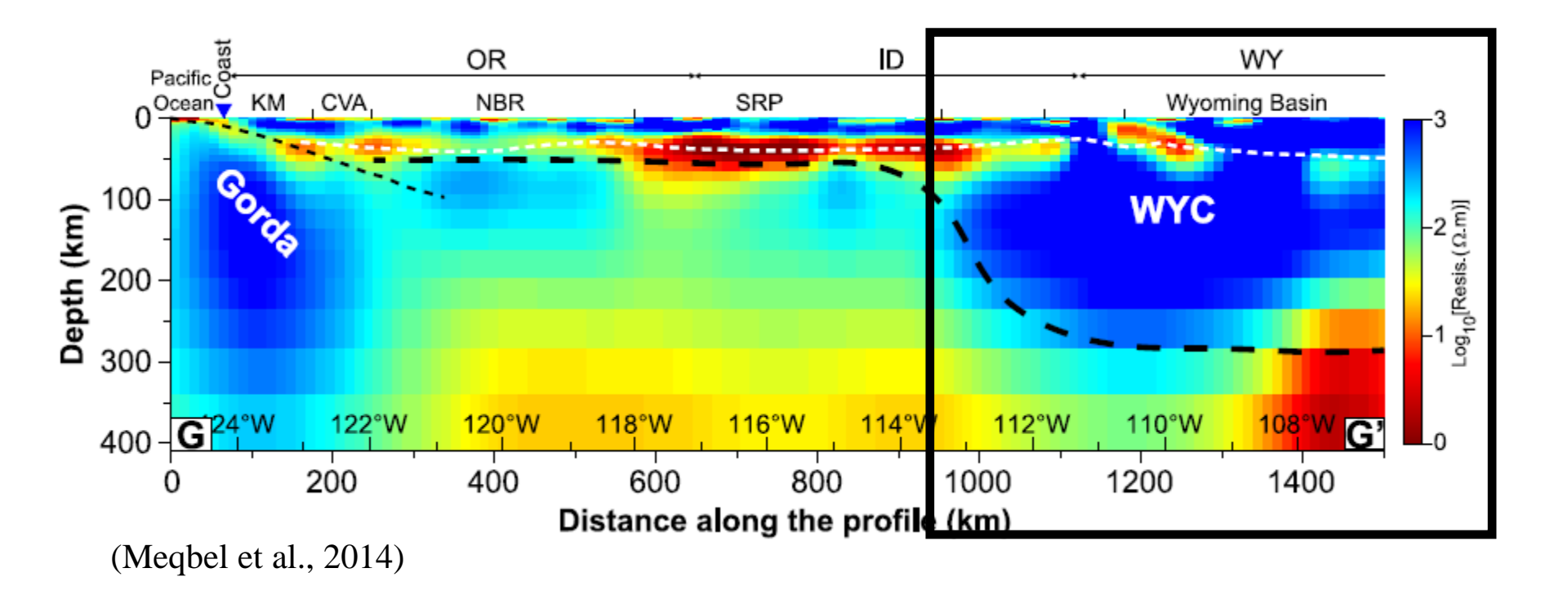
→ RdP – Rapela et al. (2011); Oyhantçabal et al. (2011)

➤ RdP – Bologna et al. (2019)

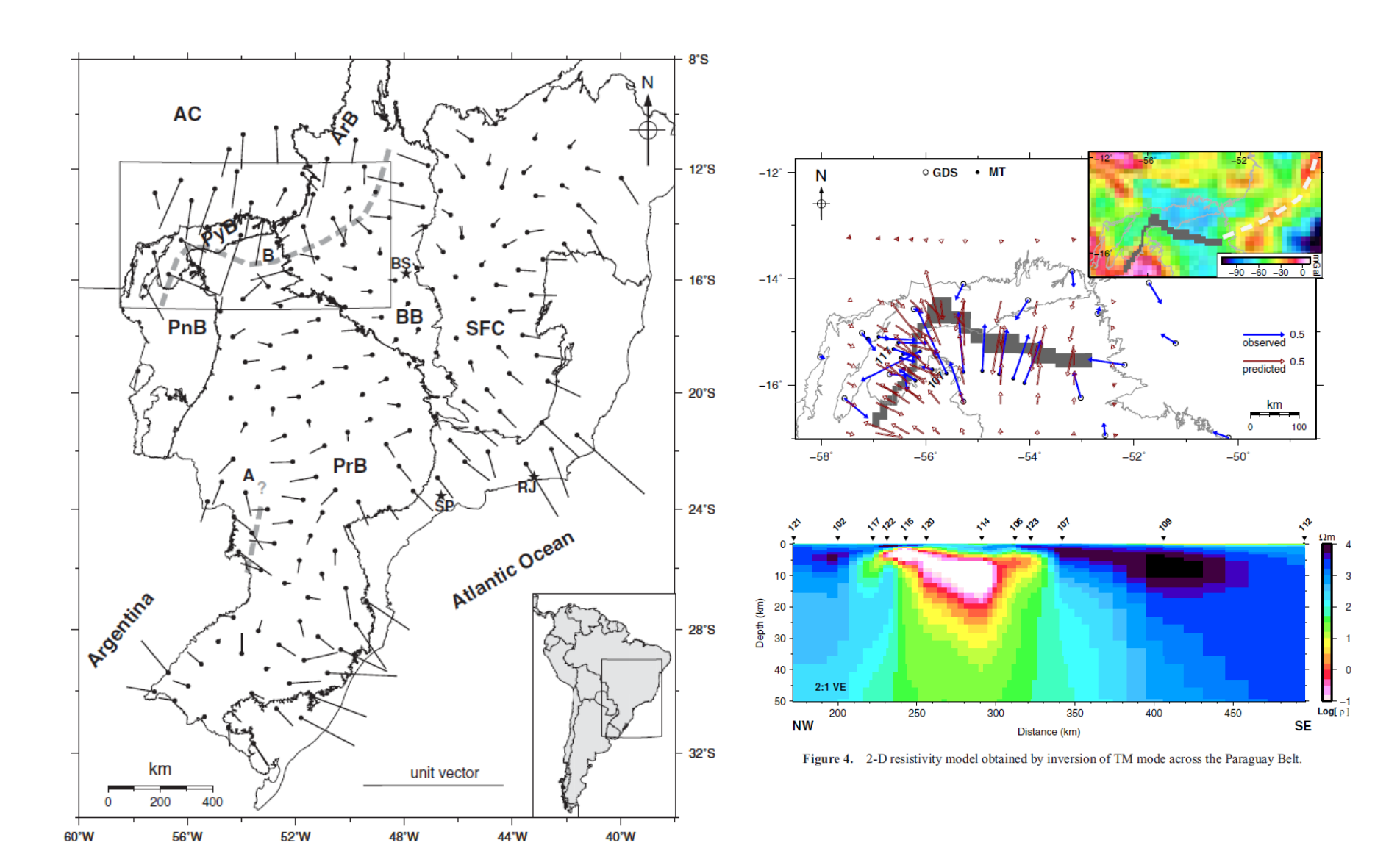




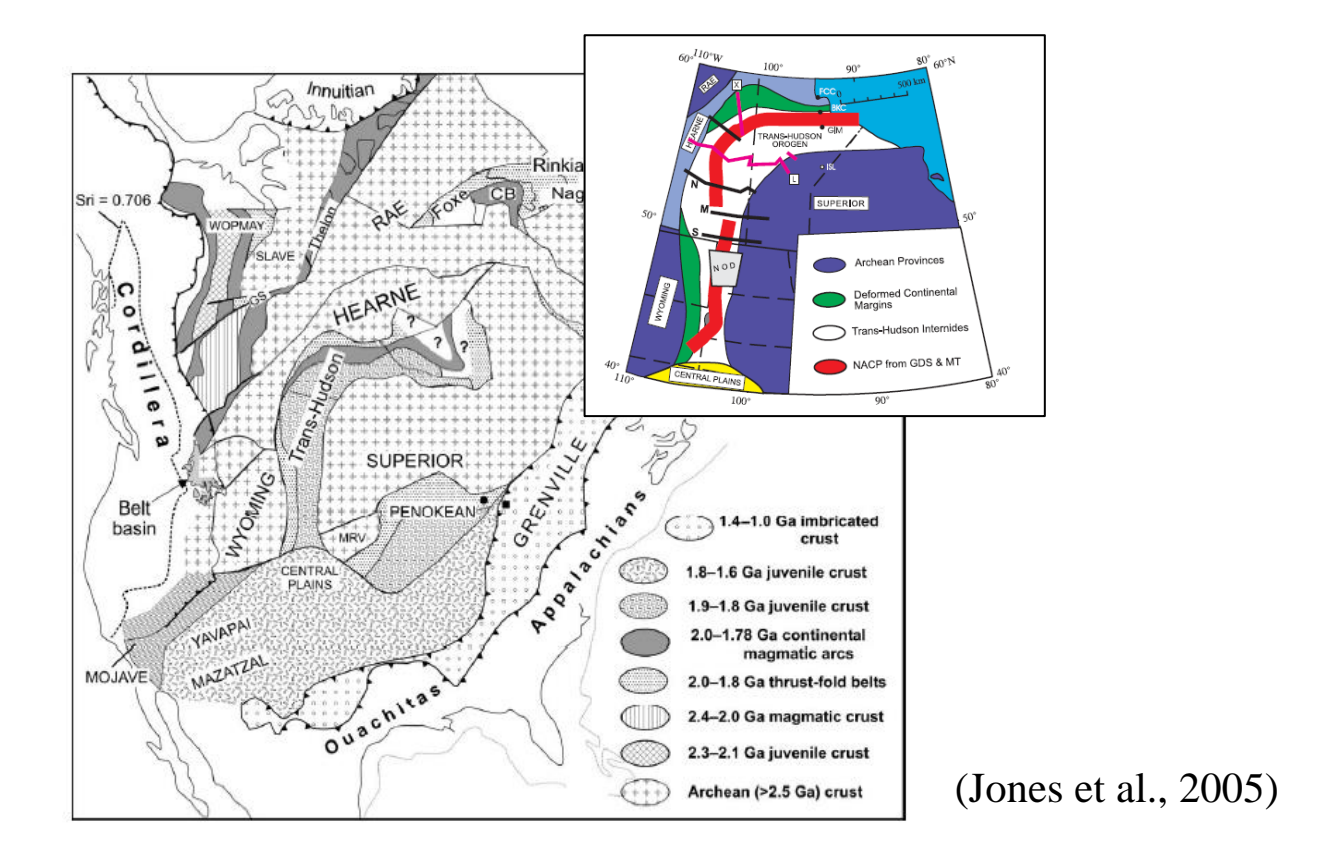
(Khoza et al., 2013)

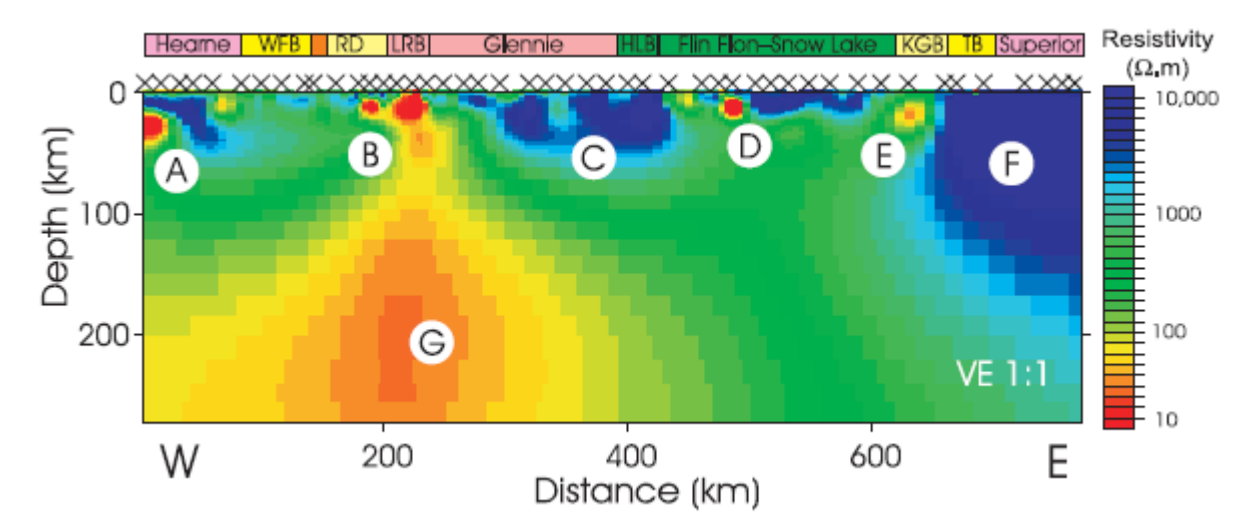


Província Tocantins

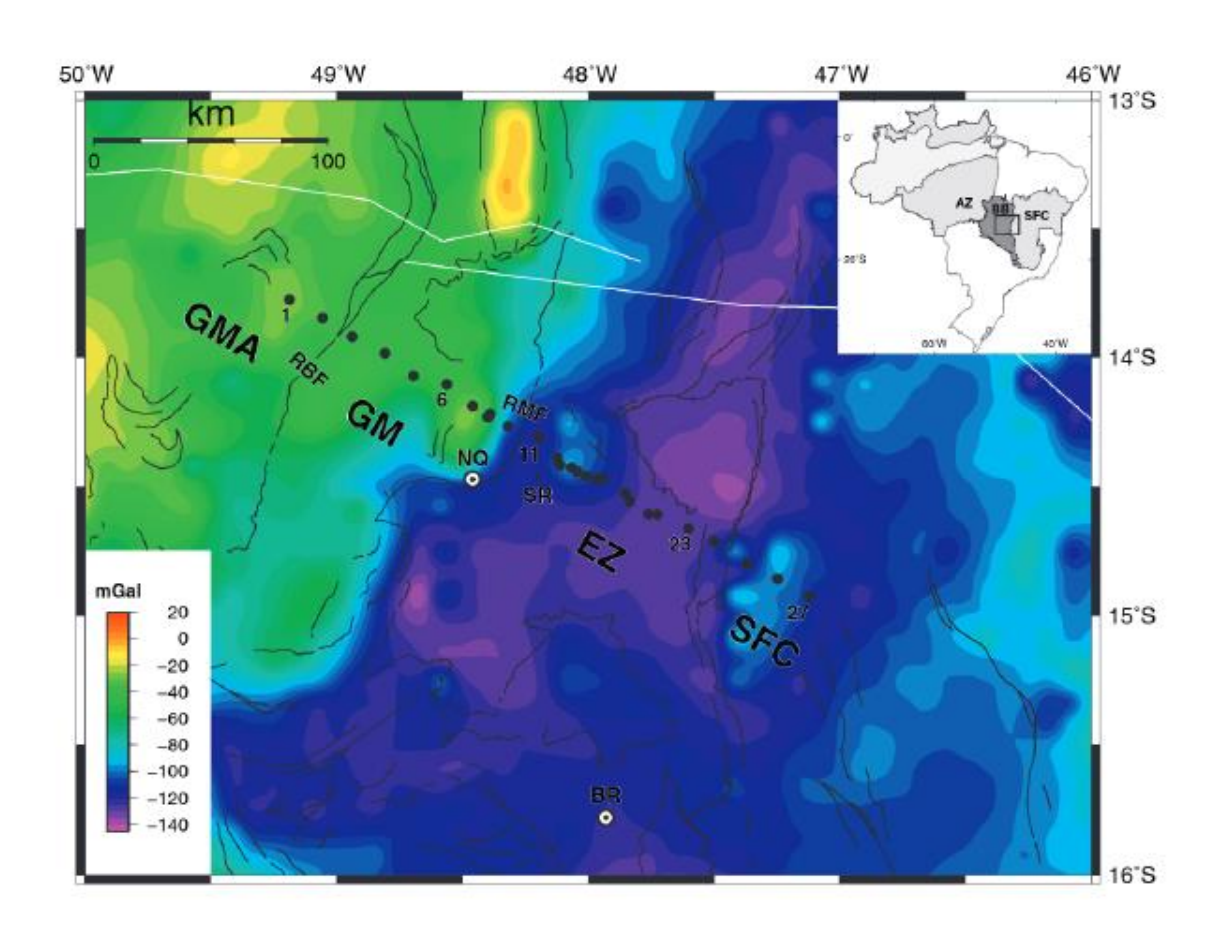


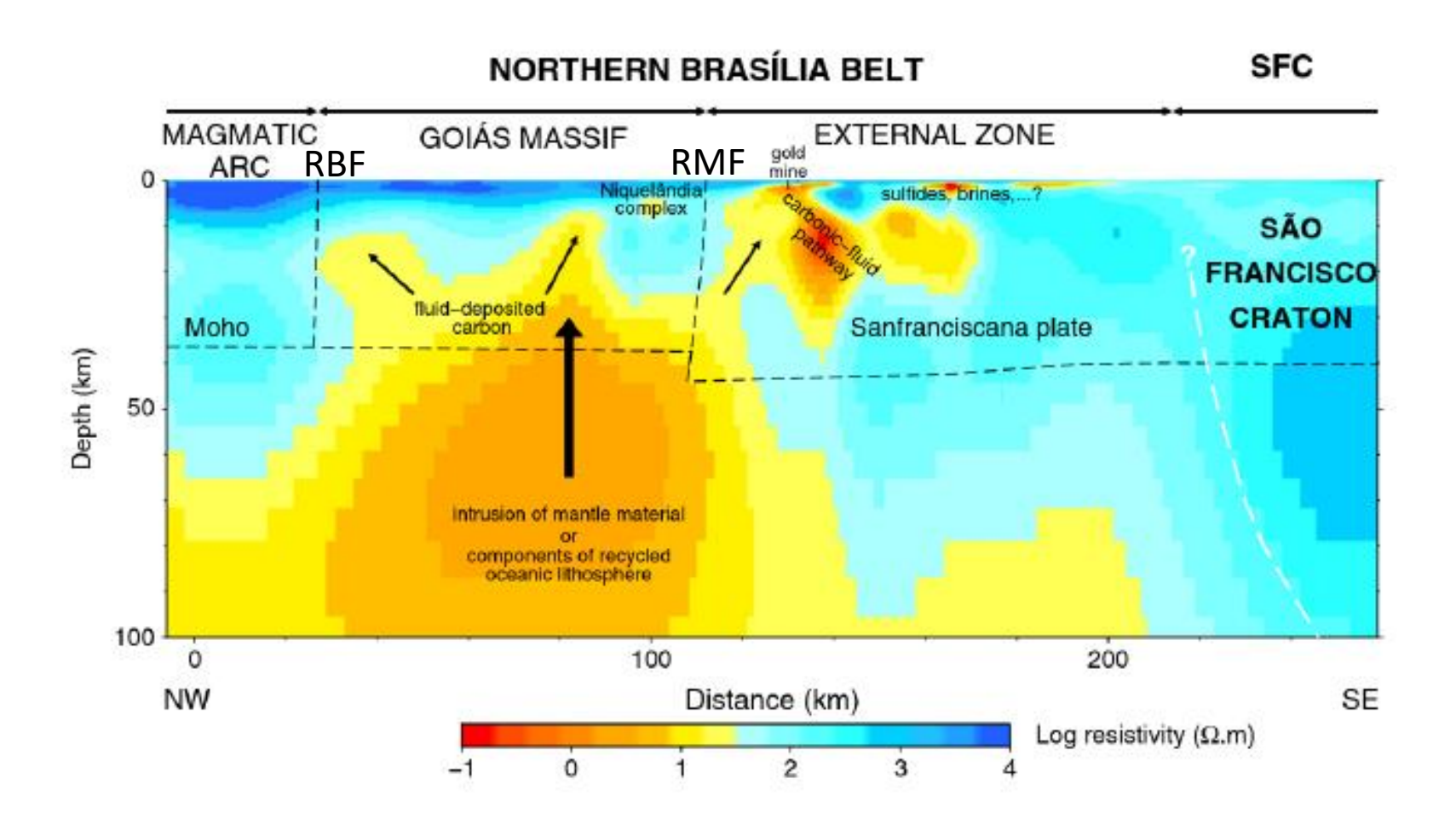
Bologna et al. (2014)



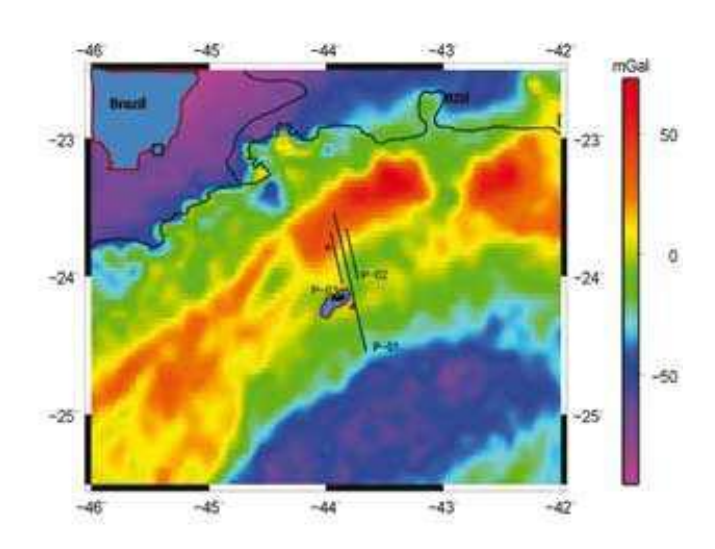


## • Padilha et al. (2012)



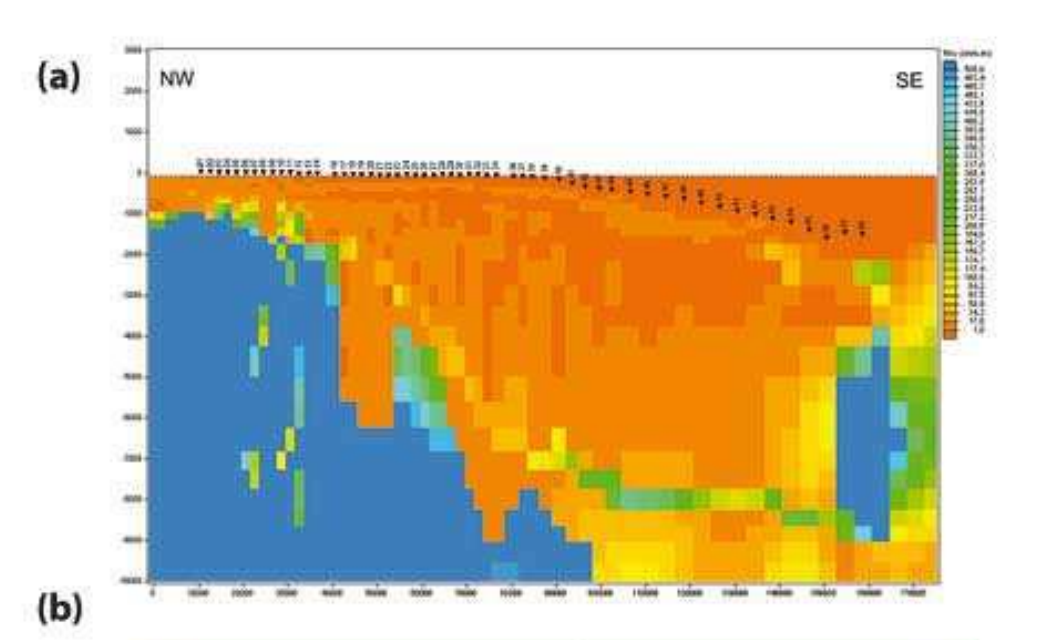


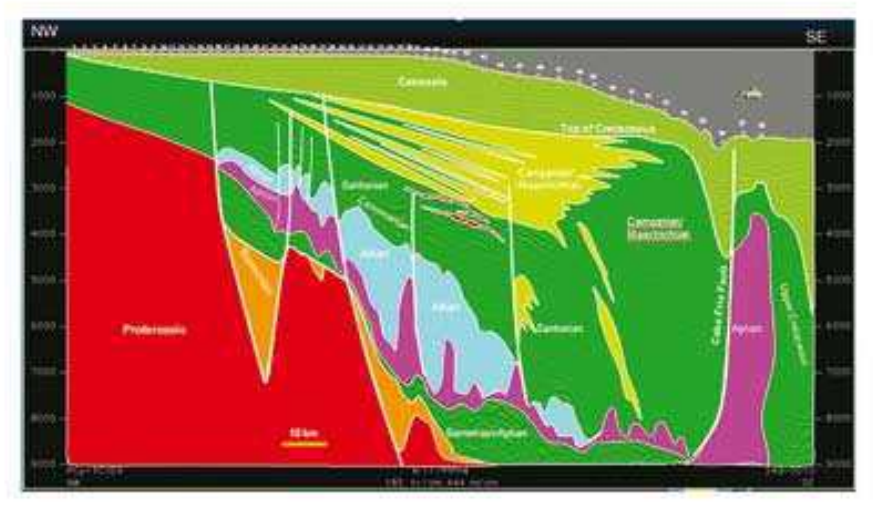
Bacia de Santos



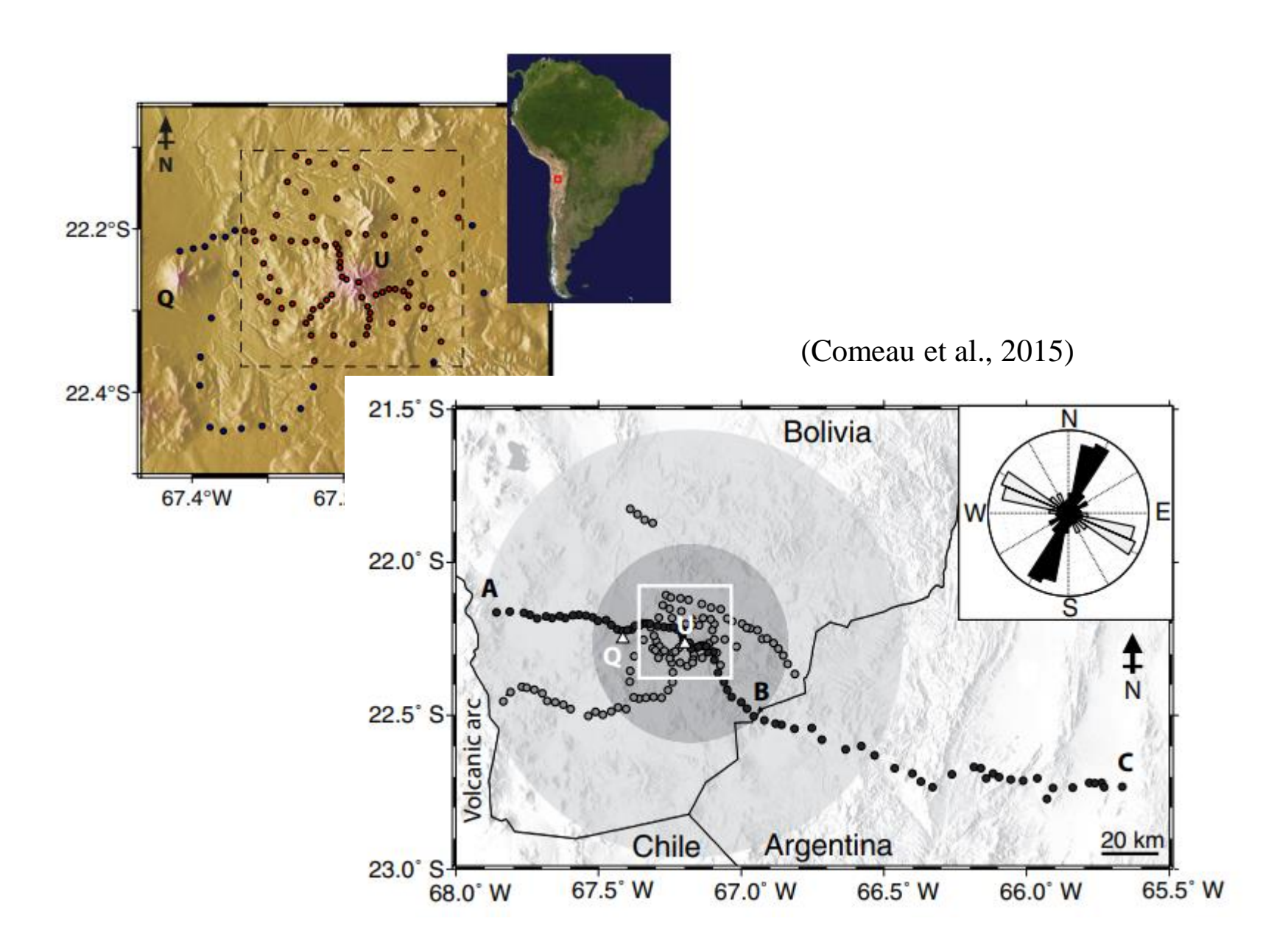
(Fontes et al., 2009)

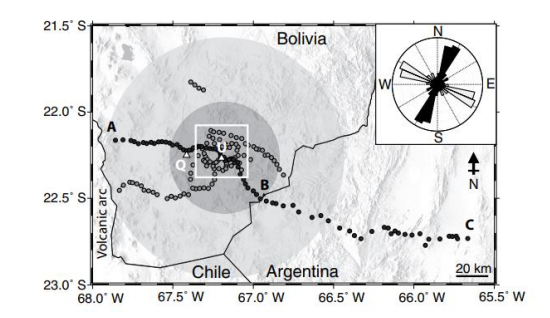
(a)



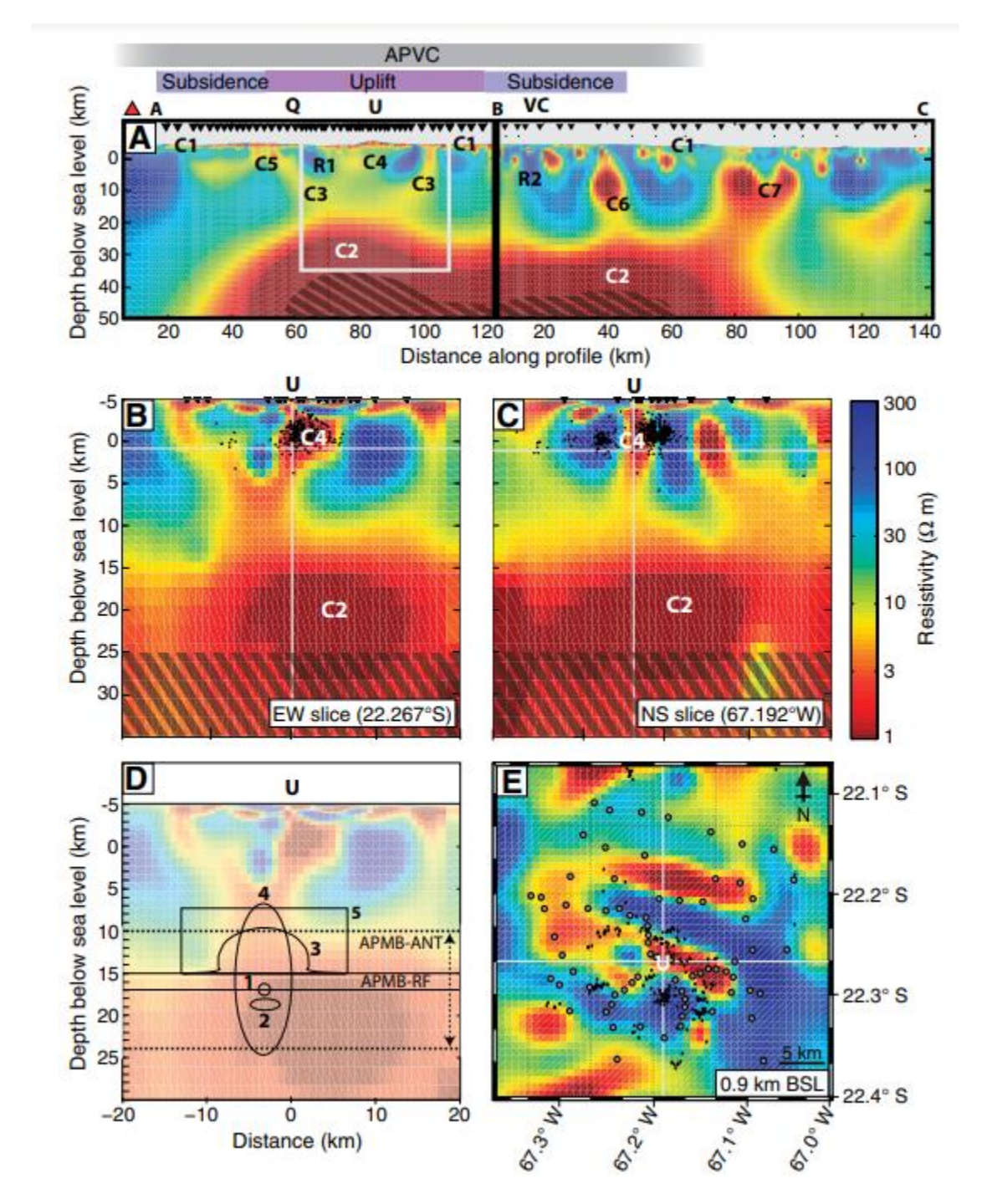


Regiões vulcânicas – Bolívia





- U—Volcán Uturuncu;
- Q—Volcán Quetena;
- VC—Vilama Caldera;
- APVC—Altiplano-Puna
   Volcanic Complex.



Obrigado!

## Bibliografia básica método MT

- Chave, A. D.; Jones, A. G. (Eds.). *The Magnetotelluric method: theory and practice*. Cambridge: Cambridge University Press, 2012.
- Simpson, F.; Bahr, K. Practical Magnetotellurics. Cambridge University Press, Cambridge,
   2005. 270 p.
- Vozoff, K. The Magnetotelluric Method. In: Nabighian, M. N. (ed.) Electromagnetic Methods in Applied Geophysics, vol. 2, Cap. 8, p. 641-711, 1991.